



Projet optimisation stchastique

---

## Rapport du projet Optimisation Stochastique

---

*Réalisé par :*  
GAREH MALIKA  
BAMMAD IHSSANE

# Table des matières

<b>1</b>	<b>Introduction</b>	<b>1</b>
<b>2</b>	<b>Problématique</b>	<b>2</b>
<b>3</b>	<b>Partie Théorique</b>	<b>3</b>
3.1	Optimisation Stochastique : Définition et principes généraux . . . . .	3
3.2	Régression Linéaire : Formulation du modèle . . . . .	3
3.2.1	Minimisation de l'erreur quadratique moyenne (MSE) . . . . .	4
3.3	Algorithmes d'optimisation : . . . . .	4
3.3.1	La descente de gradient . . . . .	4
3.3.2	Types de descente de gradient . . . . .	6
3.4	Régularisation : Principe de la Régularisation L2 (Ridge Regression) . . .	10
<b>4</b>	<b>Partie pratique</b>	<b>12</b>
4.1	Mise en place d'un problème de régression linéaire avec bruit . . . . .	12
4.2	Implémentation des méthodes d'optimisation stochastique . . . . .	14
4.2.1	Analyse de la descente de gradient . . . . .	14
4.3	Descente de Gradient par Mini-lots . . . . .	22
4.4	Algorithmes d'optimisation stochastiques avancés . . . . .	27
4.4.1	RMSprop (Root Mean Square Propagation) . . . . .	27
4.4.2	Algorithme Adam . . . . .	31
<b>5</b>	<b>Analyse des résultats</b>	<b>37</b>
5.1	Comparaison des algorithmes . . . . .	37
5.2	Analyse de la sensibilité au bruit . . . . .	42
<b>6</b>	<b>Extension du problème</b>	<b>48</b>
6.1	Régression avec un terme de régularisation . . . . .	48
<b>7</b>	<b>conclusion</b>	<b>52</b>

# Table des figures

3.1	La descente de gradient . . . . .	5
3.2	descente de gradient pour taux d'apprenissage trop faible . . . . .	5
3.3	descente de gradient pour taux d'apprenissage trop élevé . . . . .	6
3.4	Descente de gradient par lots . . . . .	7
3.5	Descente de Gradient Stochastique . . . . .	7
3.6	Descente de Gradient par Mini-lots . . . . .	8
4.1	Code de génération des données bruitées . . . . .	12
4.2	Code de Visualisation des données . . . . .	13
4.3	Visualisation en 3D . . . . .	14
4.4	Code de gradient stochastique. . . . .	15
4.5	Code de visualisation des paramètres estimés et réels. . . . .	15
4.6	Graphe de paramètres estimés et réels. . . . .	16
4.7	Code de la convergence de la descente de gradient stochastique. . . . .	16
4.8	Le graphe de la convergence de la descente de gradient stochastique. . . . .	17
4.9	Code de la descente de gradient stochastique pour le Mini-lot de taille 10. . . . .	18
4.10	Code de visualisation des paramètres estimés et réels. . . . .	18
4.11	graphe de visualisation des paramètres estimés et réels. . . . .	19
4.12	Code de visualisation de l'erreur quadratique moyenne. . . . .	19
4.13	graphe de la convergence de descente de gradient . . . . .	20
4.14	Code de la descente de gradient stochastique pour le Mini-lot de taille 20. . . . .	20
4.15	Code de visualisation des paramètres estimés et réels. . . . .	21
4.16	graphe de visualisation des paramètres estimés et réels.). . . . .	21
4.17	Code de visualisation de l'erreur quadratique moyenne. . . . .	21
4.18	graphe de la convergence de descente de gradient. . . . .	22
4.19	génération de données bruitées . . . . .	23
4.20	Implémentation du Mini-batch Gradient Descent pour la régression linéaire	23

## Table des figures

---

4.21	Implémentation du calcul des gradients et affichage de la progression du Mini-batch Gradient Descent.	24
4.22	Visualisation des résultats	24
4.23	Régression linéaire avec Mini-Batch Gradient Descent	25
4.24	Évolution de la fonction de perte (loss) au fil des itérations avec un learning rate de 0.01	25
4.25	Régression linéaire avec Mini-Batch Gradient Descent Avec un learning rate = 0.001	26
4.26	Évolution de la fonction de perte (loss) au fil des itérations avec un learning rate de 0.001	26
4.27	graphe d'Évolution de la fonction de perte (loss) au fil des itérations avec un learning rate de 0.001	27
4.28	génération des données 2D avec un bruit de loi normal	28
4.29	mini-batch gradient descent avec RMSprop	28
4.30	mini-batch gradient descent avec RMSprop	29
4.31	Visualisation de la convergence du descente de gradient	29
4.32	les valeurs de MSE pour chaque itération	29
4.33	Graphe de régression linéaire avec RMSprop	30
4.34	Graphe de convergence de RMSprop	31
4.35	Code de l'algorithme de Adam .	32
4.36	Code de l'algorithme de Adam.	33
4.37	La perte quadratique moyenne pour chaque itération ).	34
4.38	Code de visualisation des résultats de l'algorithme ).	34
4.39	graphe de régression linéaire avec Adam.	35
4.40	Code de visualisation de la convergence	35
4.41	graphe de la convergence avec Adam	36
5.1	génération des données bruitées	38
5.2	initialisation des paramètres et implmentation du méthode SGD	38
5.3	implmentation du méthode mini-batch gradient descent	39
5.4	algorithme d'Adam	39
5.5	calcul des prédictions et mise à jour paramètres	40
5.6	calcul du MSE pour les trois algorithmes	40
5.7	visualisation des résultats	41
5.8	Comparaison des algorithmes de descente de gradient : SGD, Mini-batch et Adam. À gauche, l'évolution de la fonction de perte (loss) au fil des itérations, et à droite, la comparaison des prédictions (en rouge pour SGD, en vert pour Mini-batch, et en orange pour Adam) par rapport aux données réelles (points bleus).	41

## Table des figures

---

5.9	Code de génération du bruit pour différents niveaux de sigma. . . . .	42
5.10	Code de SGD. . . . .	43
5.11	Code de mini-batch. . . . .	43
5.12	Code de Adam. . . . .	44
5.13	Code de rmsprop. . . . .	44
5.14	Code de visualisation de quatre algorithmes pour différents valeurs de $\sigma$ . . . . .	45
5.15	Résultat des algorithmes pour $\sigma=1$ . . . . .	45
5.16	Résultat des algorithmes pour $\sigma=3$ . . . . .	46
5.17	Résultat des algorithmes pour $\sigma=5$ . . . . .	46
6.1	génération des données avec bruit normal . . . . .	48
6.2	gradient descent pour rigide regression . . . . .	49
6.3	paramètres de la régularisation rigide . . . . .	49
6.4	tracé de l'évolution de la perte . . . . .	50
6.5	le MSE pour chaque itération . . . . .	50
6.6	l'évolution de la fonction de perte (Loss) au fil des itérations . . . . .	50

# 1 | Introduction

Dans de nombreux domaines scientifiques et industriels, la prise de décision ou la modélisation repose sur l'analyse de données souvent entachées d'incertitudes ou de bruit. L'optimisation stochastique, une branche de l'optimisation, se concentre sur la résolution de problèmes où ces incertitudes jouent un rôle central. Elle permet de trouver des solutions robustes malgré les variations aléatoires dans les données ou les paramètres. Ce projet s'inscrit dans le cadre de l'étude des méthodes d'optimisation stochastique appliquées à un problème fondamental : la régression linéaire avec données bruitées. L'objectif est d'estimer les paramètres d'un modèle linéaire en minimisant l'erreur quadratique moyenne tout en prenant en compte les incertitudes inhérentes aux données. Ce problème, bien que classique, présente des défis spécifiques, notamment en termes de convergence des algorithmes et de sensibilité au bruit. Au-delà de la simple mise en œuvre d'algorithmes tels que [la descente de gradient stochastique \(SGD\)](#) et ses variantes ([Mini-Batch, Adam](#)), ce projet vise à analyser leurs performances, étudier leur robustesse face à des niveaux de bruit variés, et explorer des approches améliorant la généralisation, comme l'ajout de régularisation. Ces travaux ont des applications pratiques dans des domaines variés tels que l'apprentissage automatique, la finance ou encore la prévision environnementale.

## 2 | Problématique

Dans de nombreux contextes, tels que l'apprentissage automatique ou la modélisation scientifique, la régression linéaire est utilisée pour établir des relations entre des variables explicatives et une variable cible. Cependant, lorsque les données contiennent du bruit – un phénomène courant dans des environnements réels – l'estimation précise des paramètres du modèle devient un défi majeur.

Le problème fondamental réside dans l'incertitude introduite par ce bruit, qui peut biaiser les résultats et réduire la capacité de généralisation du modèle. Plus précisément, dans un modèle linéaire :

$$y = X\beta + \epsilon$$

le terme d'erreur  $\epsilon$ , souvent supposé suivre une distribution normale, introduit des variations aléatoires qui compliquent l'estimation des coefficients  $\beta$ . Sans techniques adaptées, ces fluctuations peuvent nuire à la précision et à la fiabilité des prédictions.

Les approches classiques, comme la descente de gradient déterministe, tentent de minimiser une fonction objectif globale sur l'ensemble des données. Bien qu'efficaces dans des scénarios idéaux, ces méthodes sont limitées dans des environnements bruités pour plusieurs raisons :

- Elles ne tiennent pas compte des variations locales des données, ce qui peut ralentir la convergence ou provoquer un surapprentissage.
- L'absence de mécanismes de régularisation peut conduire à des modèles trop complexes, sensibles au bruit et incapables de généraliser correctement à de nouvelles données.

Pour surmonter ces limitations, l'utilisation de méthodes d'optimisation stochastique devient essentielle. Ces algorithmes, tels que la descente de gradient stochastique (SGD) et ses variantes, permettent de traiter les données par lots ou échantillons, introduisant ainsi une certaine robustesse face au bruit. De plus, l'ajout de techniques comme la régularisation contribue à éviter le surapprentissage et à renforcer la généralisation du modèle. Ainsi, ce projet se focalise sur la mise en œuvre et l'analyse de méthodes d'optimisation stochastique pour estimer les paramètres d'un modèle linéaire en présence de bruit.

## 3 | Partie Théorique

### 3.1 Optimisation Stochastique : Définition et principes généraux

L'optimisation stochastique est une approche qui vise à résoudre des problèmes d'optimisation dans des contextes où les données ou les paramètres sont affectés par des incertitudes ou des variations aléatoires. Contrairement à l'optimisation déterministe, qui exploite l'ensemble complet des données pour calculer un gradient exact, l'optimisation stochastique utilise une portion limitée des données (un échantillon ou un mini-lot) pour estimer le gradient à chaque étape.

Cette méthode introduit un caractère aléatoire dans la mise à jour des paramètres, ce qui peut rendre la convergence plus rapide dans certains cas et permet d'éviter de rester bloqué dans des minima locaux ou des plateaux de la fonction objectif. Cela en fait une solution particulièrement adaptée pour les grands ensembles de données ou pour les problèmes où les calculs exacts sont trop coûteux.

### 3.2 Régression Linéaire : Formulation du modèle

La régression linéaire est une méthode statistique utilisée pour modéliser la relation entre une variable cible  $y$  et un ensemble de variables explicatives  $X$ . Le modèle peut être formulé de manière générale comme :

$$y = X\beta + \epsilon$$

où :

- $y$  représente le vecteur des valeurs cibles (observées).
- $X$  est la matrice des variables explicatives.
- $\beta$  est le vecteur des coefficients ou paramètres à estimer.
- $\epsilon$  est un terme d'erreur, représentant le bruit ou l'incertitude des observations, supposé suivre une loi normale centrée.

L'objectif est d'estimer les coefficients  $\beta$  afin que le modèle puisse prédire  $y$  à partir de  $X$  avec une précision maximale.

### **3.3. Algorithmes d'optimisation :**

---

#### **3.2.1 Minimisation de l'erreur quadratique moyenne (MSE)**

Pour évaluer la qualité de la prédiction du modèle, on utilise la fonction de coût appelée erreur quadratique moyenne (MSE, Mean Squared Error), définie comme :

$$MSE(\beta) = \frac{1}{n} \sum_{i=1}^n (y_i - X_i \beta)^2$$

n : est le nombre d'observations.

$y_i$  : est la valeur observée pour la i-ème instance.

$X_i$  : est la valeur prédictive par le modèle pour la même instance.

L'objectif est de minimiser cette erreur, ce qui revient à résoudre le problème d'optimisation suivant

$$\min_{\beta} MSE(\beta) = \min_{\beta} \frac{1}{n} \|y - X\beta\|^2$$

Cette formulation garantit que la droite (ou l'hyperplan dans le cas multivarié) ajustée par le modèle est celle qui minimise, en moyenne, la distance au carré entre les prédictions et les observations.

### **3.3 Algorithmes d'optimisation :**

#### **3.3.1 La descente de gradient**

Gradient Descent est un algorithme d'optimisation itératif pour trouver des solutions optimales. La descente de gradient peut être utilisée pour trouver des valeurs de paramètres qui minimisent une fonction différentiable. L'idée simple derrière cet algorithme est d'ajuster les paramètres de manière itérative pour minimiser une fonction de coût. Dans sa mise en œuvre, l'algorithme commence par des valeurs initiales aléatoires pour les paramètres. À chaque itération, les paramètres sont mis à jour en fonction du gradient, dirigeant ainsi le modèle vers les valeurs qui diminuent la fonction de coût. Cette progression suit la pente descendante de la fonction, d'où le nom "descente de gradient". L'algorithme débute avec une valeur aléatoire pour le paramètre W. Pas à pas, cette valeur est ajustée, ce qui améliore progressivement la performance du modèle. L'objectif est de réduire la valeur de la fonction de coût, telle que l'erreur quadratique moyenne (RMSE), à chaque itération. Chaque mise à jour des paramètres correspond à une "étape d'apprentissage".

### 3.3. Algorithmes d'optimisation :

---

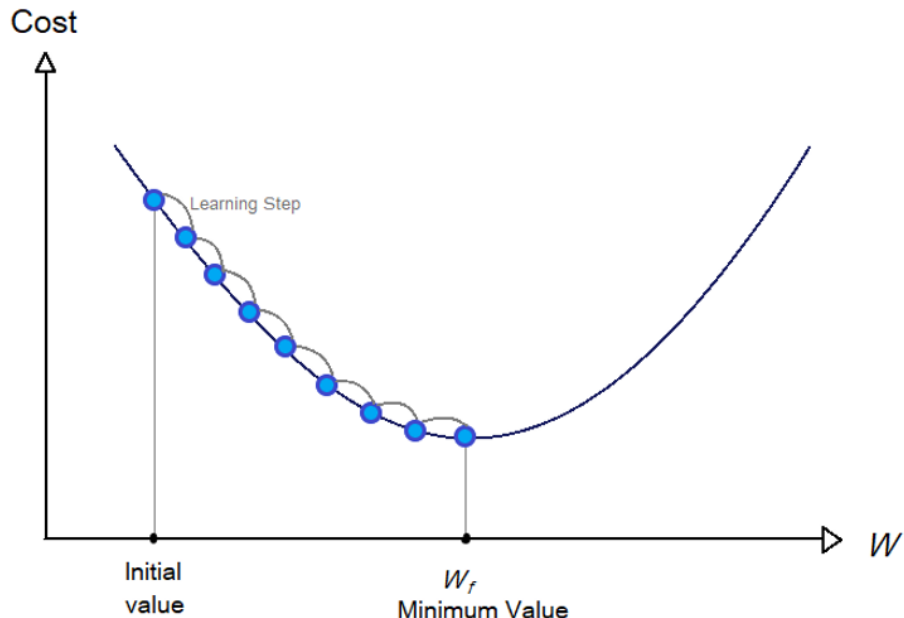


FIGURE 3.1 – La descente de gradient

Il est essentiel de noter que la taille de l'étape d'apprentissage joue un rôle crucial. Elle doit être suffisamment bien calibrée pour atteindre la valeur optimale de  $W$  en un nombre réduit d'itérations. Cette taille est déterminée par un hyperparamètre appelé taux d'apprentissage. Si ce dernier est trop faible, le processus prendra davantage de temps, car l'algorithme nécessitera un grand nombre d'itérations pour converger.

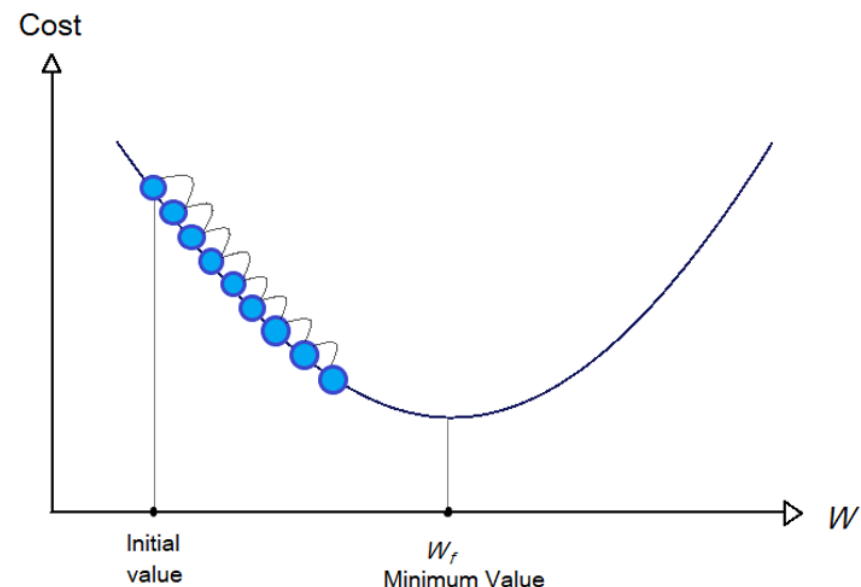


FIGURE 3.2 – descente de gradient pour taux d'apprennissage trop faible

En revanche, un taux d'apprentissage trop élevé peut entraîner une augmentation de la valeur de la fonction de coût par rapport aux étapes précédentes.

### 3.3. Algorithmes d'optimisation :

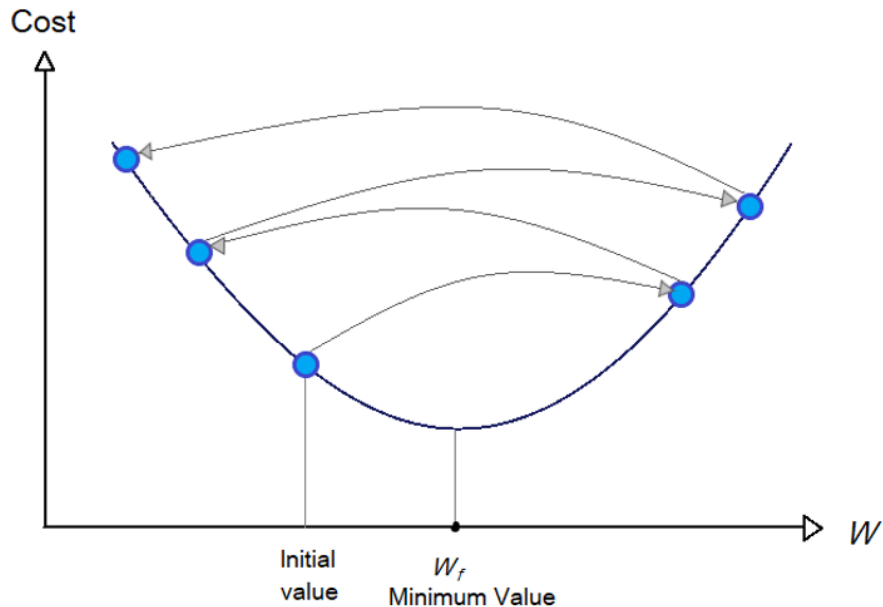


FIGURE 3.3 – descente de gradient pour taux d'apprentissage trop élevé

#### 3.3.2 Types de descente de gradient

##### Descente de gradient par lots.

La descente de gradient classique est une méthode d'optimisation déterministe qui calcule le gradient de la fonction de coût en utilisant l'ensemble complet des données à chaque itération. Cette approche garantit des mises à jour stables mais peut être lente et coûteuse en présence de grands ensembles de données. Formule de mise à jour :

$$\theta_{t+1} = \theta_t - \eta \cdot \nabla L(\theta_t)$$

où :

$\theta_t$  représente les paramètres du modèle à l'itération  $t$ .

$\eta$  est le taux d'apprentissage.

$\nabla L(\theta_t)$  est le gradient de la fonction de coût  $L$  calculé sur l'ensemble complet des données.

Dans le cas d'un grand nombre d'entités, la descente de dégradé par lots fonctionne bien mieux que la méthode d'équation normale ou la méthode SVD. Mais dans le cas de très grands ensembles d'entraînement, c'est encore assez lent.

### 3.3. Algorithmes d'optimisation :

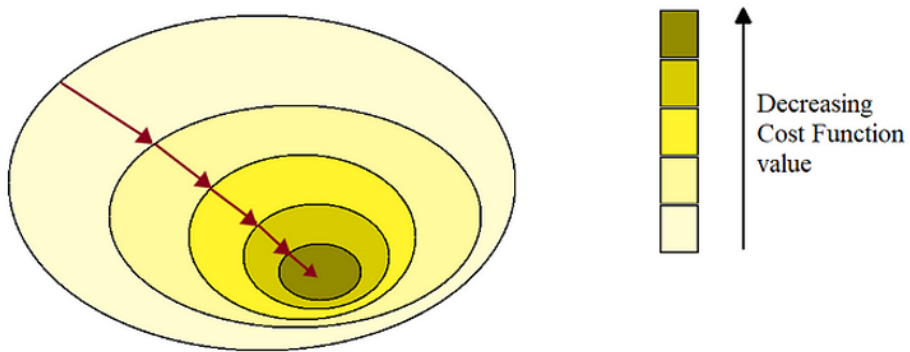


FIGURE 3.4 – Descente de gradient par lots

#### Descente de Gradient Stochastique (SGD)

La descente de gradient stochastique est une variante de la descente de gradient classique. Au lieu d'utiliser l'ensemble complet des données pour calculer le gradient, elle utilise un seul échantillon aléatoire à chaque itération, ce qui permet des mises à jour plus fréquentes et peut accélérer la convergence. Formule de mise à jour :

$$\theta_{t+1} = \theta_t - \eta \cdot \nabla L(\theta_t; x_i, y_i)$$

où :

- $\theta_t$  représente les paramètres du modèle à l'itération  $t$ ,
- $\eta$  est le taux d'apprentissage,
- $\nabla L(\theta_t; x_i, y_i)$  est le gradient de la fonction de perte  $L$  calculé pour l'échantillon  $(x_i, y_i)$ .

En raison de la nature aléatoire de SGD, la fonction de coût augmente et diminue, ne diminuant qu'en moyenne. Par conséquent, il y a de fortes chances que les valeurs finales des paramètres soient bonnes mais pas les meilleures.

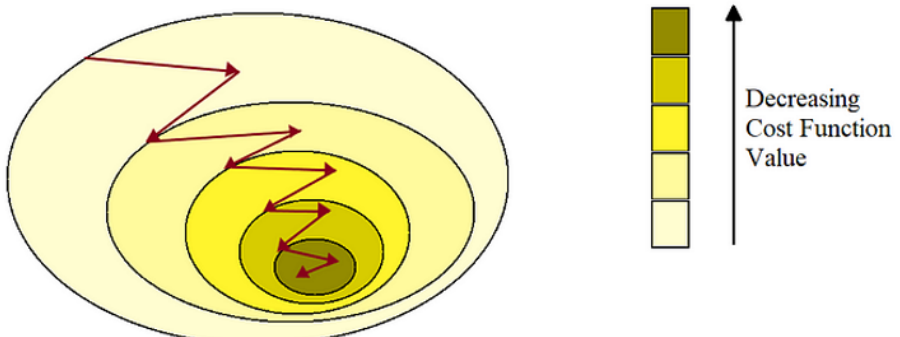


FIGURE 3.5 – Descente de Gradient Stochastique

### **3.3. Algorithmes d'optimisation :**

#### **Descente de Gradient par Mini-lots**

La descente de gradient par mini-lots est un compromis entre la descente de gradient classique et la descente de gradient stochastique. Elle divise l'ensemble des données en petits sous-ensembles appelés mini-lots et effectue une mise à jour des paramètres pour chaque mini-lot. Formule de mise à jour :

$$\theta_{t+1} = \theta_t - \eta \cdot \frac{1}{m} \sum_{i=1}^m \nabla L(\theta_t; x_i, y_i)$$

où :

- m est la taille du mini-lot.

Mini-Batch GD est beaucoup plus stable que le SGD, donc cet algorithme donnera des valeurs de paramètres beaucoup plus proches du minimum que SGD. En outre, nous pouvons obtenir une amélioration des performances grâce à l'optimisation matérielle (en particulier des GPU) des opérations matricielles tout en utilisant la GD mini-batch.

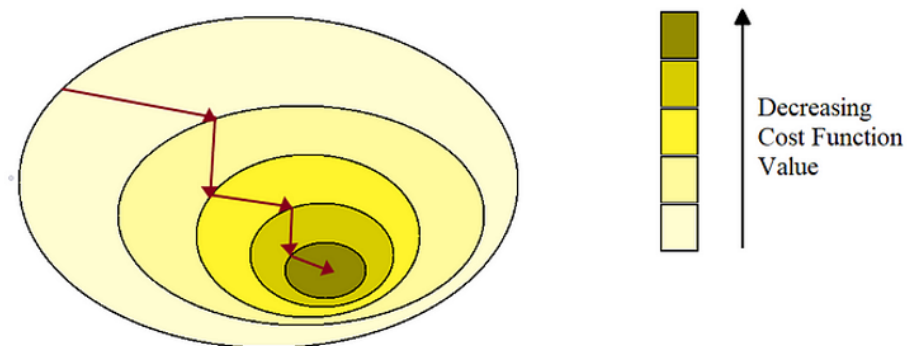


FIGURE 3.6 – Descente de Gradient par Mini-lots

#### **Adam**

L'algorithme Adam est une méthode d'optimisation stochastique largement utilisée en apprentissage automatique. Il se distingue par sa capacité à combiner deux techniques majeures : AdaGrad, qui adapte le taux d'apprentissage en fonction des gradients accumulés, et RMSProp, qui stabilise les mises à jour en normalisant les gradients. En intégrant ces deux approches, Adam exploite les moyennes mobiles des premier et second moments des gradients, ce qui garantit une convergence à la fois rapide et stable.

#### **Principe Fondamental**

L'objectif d'Adam est d'adapter dynamiquement le taux d'apprentissage pour chaque paramètre du modèle. Pour y parvenir, il calcule une estimation des moyennes mobiles des gradients (premier moment) et de leurs carrés (second moment).

Ces estimations sont ensuite corrigées pour éliminer les biais initiaux. En utilisant ces informations, Adam met à jour les paramètres du modèle de manière plus efficace, ce

### **3.3. Algorithmes d'optimisation :**

---

qui le rend particulièrement robuste face aux gradients bruités ou aux fonctions objectif complexes.

#### **Formules de Mise à Jour**

**Calcul des moyennes mobiles des gradients et de leurs carrés** Les mises à jour des moyennes mobiles sont définies par :

$$m_t = \beta_1 \cdot m_{t-1} + (1 - \beta_1) \cdot g_t$$
$$v_t = \beta_2 \cdot v_{t-1} + (1 - \beta_2) \cdot g_t^2$$

où :

- $g_t$  est le gradient à l'itération  $t$ .
- $\beta_1$  et  $\beta_2$  sont des coefficients de décroissance exponentielle ( $0 < \beta_1, \beta_2 < 1$ ).

Corrections des biais des moyennes mobiles (car elles sont initialisées à zéro) :

$$\hat{m}_t = \frac{m_t}{1 - \beta_1^t}, \quad \hat{v}_t = \frac{v_t}{1 - \beta_2^t}$$

La mise à jour des paramètres est donnée par :

$$\theta_{t+1} = \theta_t - \eta \cdot \frac{\hat{m}_t}{\sqrt{\hat{v}_t} + \epsilon}$$

où :

- $\eta$  est le taux d'apprentissage initial,
- $\epsilon$  est un terme de régularisation pour éviter la division par zéro ( $\epsilon \approx 10^{-8}$ ).

#### **RMSProp (Root Mean Square Propagation)**

RMSProp est une amélioration de la descente de gradient stochastique, particulièrement efficace pour stabiliser les mises à jour dans des scénarios bruités ou lorsque les gradients varient fortement.

**Principe Fondamental** RMSProp adapte le taux d'apprentissage pour chaque paramètre en divisant le gradient par une moyenne mobile exponentielle des carrés des gradients passés. Cela évite les oscillations dues à des gradients très différents d'une direction à l'autre.

**Formules de Mise à Jour** Calcul de la moyenne mobile des carrés des gradients :

$$v_t = \beta \cdot v_{t-1} + (1 - \beta) \cdot g_t^2$$

où :

- $g_t$  est le gradient à l'itération  $t$ ,
- $\beta$  est un coefficient de lissage ( $0 < \beta < 1$ ).

Mise à jour des paramètres :

$$\theta_{t+1} = \theta_t - \eta \cdot \frac{g_t}{\sqrt{v_t} + \epsilon}$$

### 3.4. Régularisation : Principe de la Régularisation L2 (Ridge Regression)

---

## 3.4 Régularisation : Principe de la Régularisation L2 (Ridge Regression)

En apprentissage automatique et en statistiques, la régularisation est une technique essentielle pour éviter **le surapprentissage (overfitting)**, un phénomène où le modèle s'adapte trop aux données d'entraînement et perd sa capacité à généraliser à de nouvelles données. **La régularisation L2** également connue sous le nom de Ridge Regression, est l'une des méthodes les plus courantes pour limiter la complexité d'un modèle en ajoutant une pénalité à la fonction de coût.

Dans le cadre de la régression linéaire, la fonction de coût classique, qui est l'erreur quadratique moyenne (MSE), est modifiée pour inclure un terme de régularisation. La nouvelle fonction objectif devient alors :

La fonction de coût régularisée est donnée par :

$$J(\beta) = \frac{1}{n} \sum_{i=1}^n (y_i - X_i\beta)^2 + \lambda \|\beta\|_2^2$$

où :

- $\|\beta\|_2^2$  est la norme L2 des coefficients,
- $\lambda$  est le paramètre de régularisation qui contrôle l'importance du terme de pénalité.

Ce terme de régularisation agit comme une contrainte sur les valeurs des coefficients  $\beta$ , en favorisant des coefficients plus petits. En d'autres termes, il pénalise les modèles ayant des coefficients trop élevés, ce qui permet de réduire la complexité du modèle.

La régularisation L2 présente plusieurs avantages significatifs.

### Réduction du surapprentissage

En limitant l'amplitude des coefficients, la régularisation L2 empêche le modèle de s'adapter excessivement aux données bruitées ou aux variations spécifiques des données d'entraînement.

### Stabilité numérique

La pénalisation des coefficients rend le modèle plus stable, notamment dans des cas où les variables explicatives sont fortement corrélées (multicolinéarité).

### Meilleure généralisation

En limitant la complexité du modèle, la régularisation améliore sa capacité à bien prédire sur des données qu'il n'a pas vues pendant l'entraînement.

L'impact de la régularisation L2 sur la généralisation est directement lié à son rôle dans l'équilibre entre biais et variance. En augmentant le paramètre de régularisation , le modèle devient moins flexible, ce qui accroît son biais. Cependant, cette rigidité accrue réduit également la variance, rendant les prédictions plus cohérentes lorsqu'elles sont appliquées à différents ensembles de données. Il est donc crucial de trouver un compromis optimal pour , ce qui peut être accompli grâce à des méthodes comme la validation croisée.

### **3.4. Régularisation : Principe de la Régularisation L2 (Ridge Regression)**

---

En définitive, la régularisation L2 s'impose comme un outil essentiel pour contrôler la complexité des modèles. Elle renforce leur robustesse, améliore leur capacité de généralisation, et garantit des performances fiables, même dans des environnements de données complexes ou bruités.

## 4 | Partie pratique

### 4.1 Mise en place d'un problème de régression linéaire avec bruit

#### Génération des données bruitées

Dans cette étape, un jeu de données multivarié est généré afin de modéliser la relation entre Pour simuler un problème de régression linéaire avec bruit, des données bidimensionnelles ( $x_1, x_2$ ) ont été générées. Ces données suivent une relation linéaire du type  $y = xT + \epsilon$ , où  $\epsilon$  représente un bruit aléatoire ajouté, tiré d'une loi normale. Cette étape permet d'introduire des variations réalistes dans les observations et de simuler un jeu de données proche des conditions du monde réel. Pour générer ces données, le code suivant a été utilisé :

```
▶ import numpy as np
    import matplotlib.pyplot as plt

    # Paramètres
    np.random.seed(42)
    n_samples = 100
    n_features = 2
    sigma = 2

    # Générer des données x (2 caractéristiques)
    x = np.random.rand(n_samples, n_features) * 10

    # Coefficients de la droite réelle
    beta = np.array([2, -1])

    # Générer du bruit normal
    noise = np.random.normal(loc=0, scale=sigma, size=n_samples)
    y = x.dot(beta) + noise
    y_real = x.dot(beta)
```

FIGURE 4.1 – Code de génération des données bruitées

### Visualiser les données

Pour visualiser la relation entre les variables  $x_1$ ,  $x_2$  et  $y$ , l'utilisation d'une visualisation en trois dimensions permet de mieux comprendre comment les données bruitées se répartissent autour de la vraie relation linéaire dans un espace à trois axes. Pour générer cette visualisation, le code suivant a été utilisé :

```
▶ from mpl_toolkits.mplot3d import Axes3D
    import matplotlib.pyplot as plt

    # Générer un graphique en 3D
    fig = plt.figure(figsize=(10, 6))
    ax = fig.add_subplot(111, projection='3d')

    # Tracer les points bruités
    ax.scatter(x[:, 0], x[:, 1], y, color="blue", label="Données bruitées")

    # Tracer la relation réelle (plan)
    x1_vals = np.linspace(0, 10, 100)
    x2_vals = np.linspace(0, 10, 100)
    X1, X2 = np.meshgrid(x1_vals, x2_vals)
    Y = beta[0] * X1 + beta[1] * X2

    ax.plot_surface(X1, X2, Y, color="red", alpha=0.5, label="Relation réelle")

    ax.set_xlabel("x1")
    ax.set_ylabel("x2")
    ax.set_zlabel("y")
    plt.title("Relation réelle entre x1, x2 et y")
    plt.show()
```

FIGURE 4.2 – Code de Visualisation des données

Ce code nous donne le résultat illustré dans la figure ci-dessous :



Relation réelle entre  $x_1$ ,  $x_2$  et  $y$

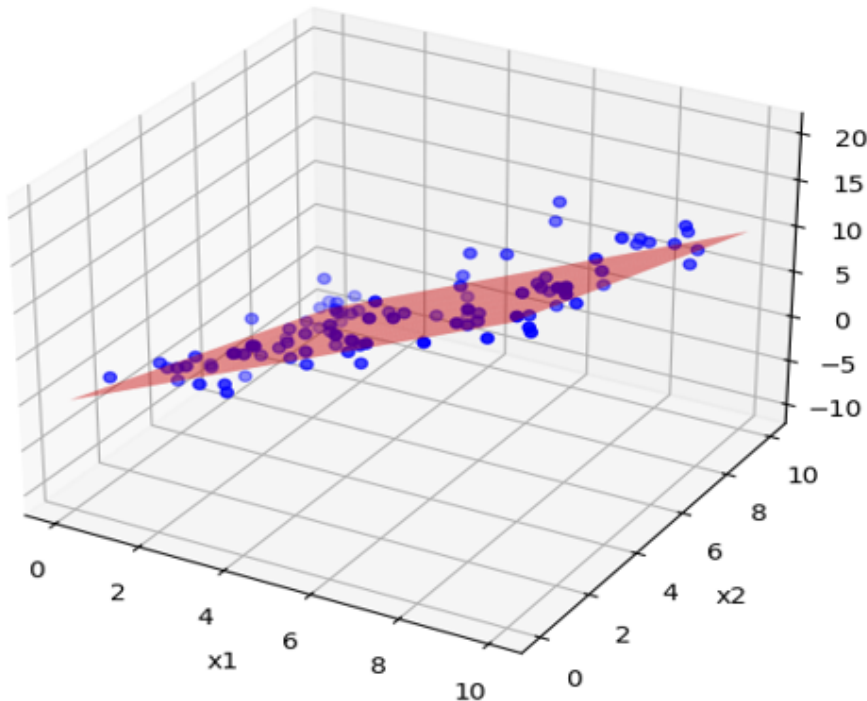


FIGURE 4.3 – Visualisation en 3D

Le graphique montre clairement que les données bruitées (points bleus) sont dispersées autour du plan rouge, ce qui reflète l'ajout du bruit  $\epsilon$ . Le plan rouge représente le modèle idéal sans bruit, permettant de visualiser la vraie relation entre  $x_1$ ,  $x_2$ , et  $y$ . Cette visualisation illustre comment un modèle linéaire peut capter une tendance globale même en présence de bruit dans les données.

## 4.2 Implémentation des méthodes d'optimisation stochastique

### 4.2.1 Analyse de la descente de gradient

#### Gradient stochastique (SGD)

Génération des paramètres estimés

Le code suivant a été utilisé pour implémenter l'algorithme de descente de gradient stochastique pour un seul échantillon. Les paramètres sont mis à jour à chaque itération en fonction de l'échantillon aléatoire choisi.

## 4.2. Implémentation des méthodes d'optimisation stochastique

```
▶ import numpy as np
import matplotlib.pyplot as plt

# Coefficients de la droite réelle (vecteur  $\beta$  pour un modèle 2D)
beta_real = np.array([2, -1])
# Hyperparamètres de l'algorithme SGD
eta = 0.01
n_iterations = 1000
convergence_threshold = 1e-6
beta = np.random.randn(n_features)
# Historique de la perte pour visualisation
loss_history = []
# Algorithme de descente de gradient stochastique (SGD)
for iteration in range(n_iterations):
    index = np.random.randint(n_samples)
    x_sample = x[index:index+1]
    y_sample = y[index]
    y_pred = x_sample.dot(beta)
    gradient = -2 * x_sample.T.dot(y_sample - y_pred)
    beta = beta - eta * gradient
    loss = np.mean((y - x.dot(beta))**2)
    loss_history.append(loss)
    # Critère de convergence
    if iteration > 1 and abs(loss_history[-1] - loss_history[-2]) < convergence_threshold:
        print(f"Convergence atteinte après {iteration} itérations.")
        break
```

FIGURE 4.4 – Code de gradient stochastique.

Le graphique suivant a été généré à l'aide du code ci-dessous, qui permet de comparer les paramètres réels ( $\beta$ ) avec les paramètres estimés par l'algorithme :

```
# Visualisation des paramètres estimés vs réels
plt.figure(figsize=(8, 4))
plt.plot(beta_real, label="Paramètres réels ( $\beta$ )", marker='o', linestyle='dashed', color='red')
plt.plot(beta, label="Paramètres estimés ( $\beta$ )", marker='x', color='blue')
plt.xlabel('Index des paramètres')
plt.ylabel('Valeur des paramètres')
plt.title('Comparaison des paramètres estimés avec les paramètres réels')
plt.legend()
plt.grid(True)
plt.show()
```

FIGURE 4.5 – Code de visualisation des paramètres estimés et réels.

Ce graphique compare les valeurs des paramètres réels et estimés, illustrées respectivement par des points rouges reliés par une ligne en pointillés et des croix bleues. On peut constater que les paramètres estimés se rapprochent bien des valeurs réelles, confirmant que l'algorithme a bien convergé vers une solution optimale.

## 4.2. Implémentation des méthodes d'optimisation stochastique

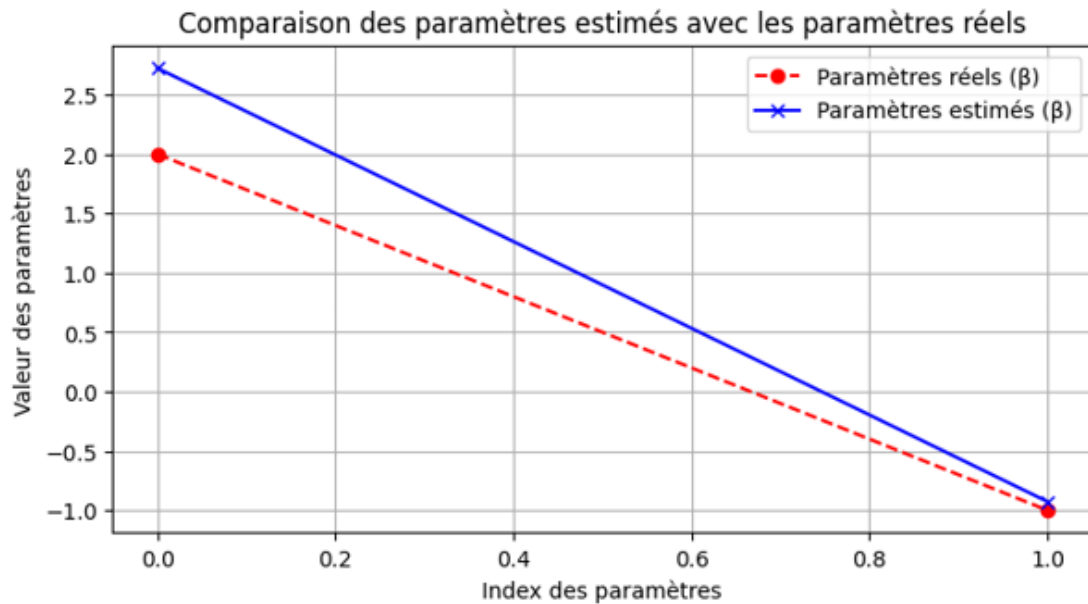


FIGURE 4.6 – Graphe de paramètres estimés et réels.

Un autre graphique a été généré pour observer l'évolution de la perte quadratique moyenne au fil des itérations. Voici

```
# Visualisation de la perte au fil des itérations
plt.plot(loss_history)
plt.xlabel('Itérations')
plt.ylabel('Perte (Erreur quadratique moyenne)')
plt.title('Convergence de la descente de gradient stochastique (un seul échantillon)')
plt.grid(True)
plt.show()
# Affichage des résultats
print("Paramètres estimés ( $\beta$ ):", beta)
print("Paramètres réels ( $\beta$ ):", beta_real)
```

FIGURE 4.7 – Code de la convergence de la descente de gradient stochastique.

le code utilisé pour cette visualisation :

## 4.2. Implémentation des méthodes d'optimisation stochastique

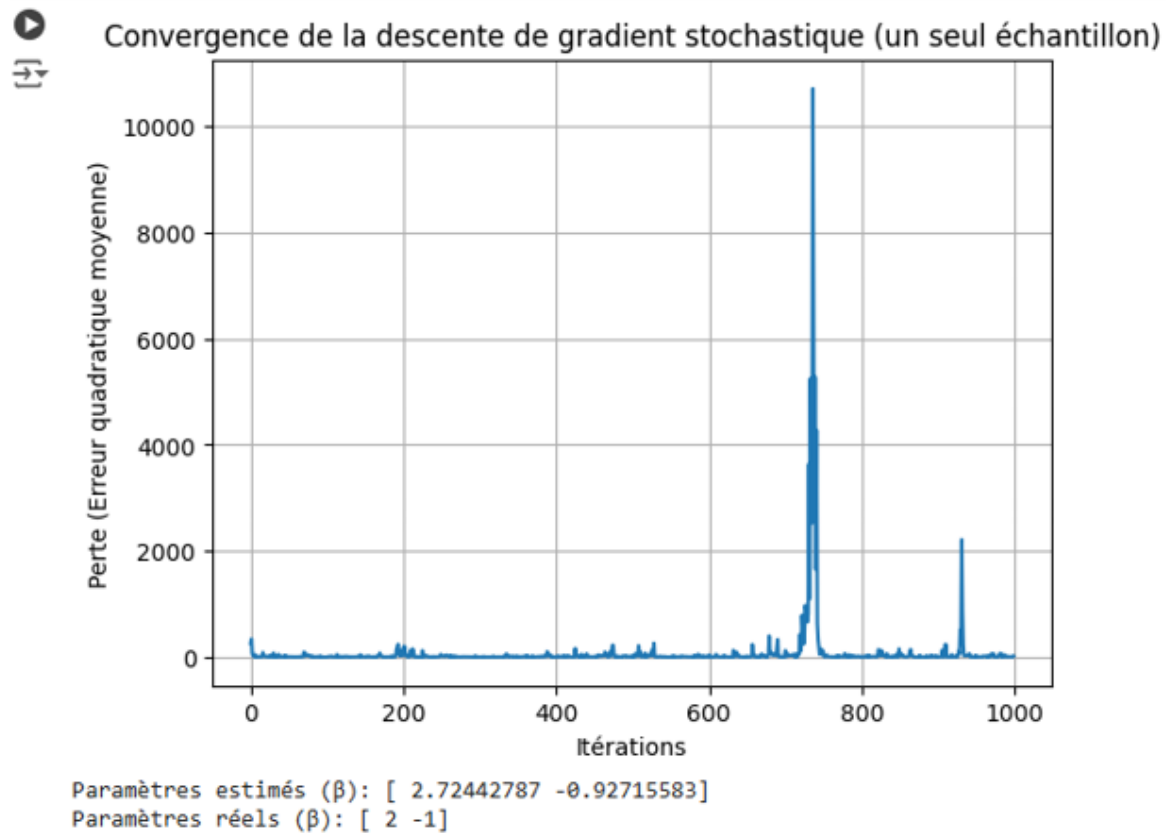


FIGURE 4.8 – Le graphe de la convergence de la descente de gradient stochastique.

Ce graphique montre une diminution progressive de l'erreur quadratique moyenne, indiquant que l'algorithme réduit efficacement la perte à chaque itération. Cependant, certaines oscillations sont visibles en raison de la nature stochastique de l'algorithme, où la perte peut légèrement augmenter par moments avant de redescendre.

- Les résultats montrent que la descente de gradient stochastique converge rapidement, avec une diminution constante de l'erreur quadratique moyenne. Les paramètres estimés sont très proches des valeurs réelles, ce qui valide l'efficacité de l'algorithme pour ce problème. Toutefois, il est important de noter que le choix d'un taux d'apprentissage approprié joue un rôle crucial dans la convergence. Un taux trop faible ralentirait l'optimisation, tandis qu'un taux trop élevé pourrait empêcher l'algorithme de converger.

### Implémentation de la mise à jour des paramètres $\beta$ avec la descente de gradient stochastique (mini-lots)

Dans cette section, nous implémentons l'algorithme de descente de gradient stochastique pour résoudre le problème de régression linéaire. À chaque itération, les paramètres  $\beta$  sont mis à jour en fonction du gradient calculé sur un mini-lot aléatoire extrait des données. Deux tailles de mini-lots sont utilisées pour analyser leur effet sur la convergence de l'algorithme et la précision des estimations :

#### 1. Mini-lot de taille 10

Le code suivant a été utilisé pour implémenter l'algorithme de descente de gradient stochastique pour le Mini-lot de taille 10. Les paramètres sont mis à jour à chaque itération en fonction de l'échantillon aléatoire choisi.

## 4.2. Implémentation des méthodes d'optimisation stochastique

```
import numpy as np
import matplotlib.pyplot as plt

beta_real = np.array([2, -1])
eta = 0.01
n_iterations = 500
batch_size = 10
convergence_threshold = 1e-6
# Initialisation des paramètres β
beta = np.random.randn(n_features)
loss_history = []
for iteration in range(n_iterations):
    indices = np.random.choice(n_samples, batch_size, replace=False)
    x_batch = x[indices]
    y_batch = y[indices]
    # Calcul des prédictions pour le mini-lot
    y_pred = x_batch.dot(beta)
    gradient = -2 * x_batch.T.dot(y_batch - y_pred) / batch_size
    # Mise à jour des paramètres β
    beta = beta - eta * gradient
    loss = np.mean((y - x.dot(beta))**2)
    loss_history.append(loss)
    # Critère de convergence : si la perte diminue moins de manière significative
    if iteration > 1 and abs(loss_history[-1] - loss_history[-2]) < convergence_threshold:
        print(f"Convergence atteinte après {iteration} itérations.")
        break
```

FIGURE 4.9 – Code de la descente de gradient stochastique pour le Mini-lot de taille 10.

Le graphique suivant a été généré à l'aide du code ci-dessous, qui permet de comparer les paramètres réels ( $\beta$ ) avec les paramètres estimés par l'algorithme :

```
# Visualisation des paramètres estimés vs réels
plt.figure(figsize=(8, 6))
plt.plot(beta_real, label="Paramètres réels (\beta)", marker='o', linestyle='dashed', color='red')
plt.plot(beta, label="Paramètres estimés (\beta)", marker='x', color='blue')
plt.xlabel('Index des paramètres')
plt.ylabel('Valeur des paramètres')
plt.title('Comparaison des paramètres estimés avec les paramètres réels')
plt.legend()
plt.grid(True)
plt.show()
```

FIGURE 4.10 – Code de visualisation des paramètres estimés et réels.

Dans ce graphique, les valeurs réelles des paramètres ( $\beta$ ) sont représentées en rouge avec une ligne pointillée, tandis que les paramètres estimés sont en bleu avec des croix. Pour un mini-lot de taille 10, on observe que les paramètres estimés se rapprochent bien des valeurs réelles, validant l'efficacité de l'algorithme

## 4.2. Implémentation des méthodes d'optimisation stochastique

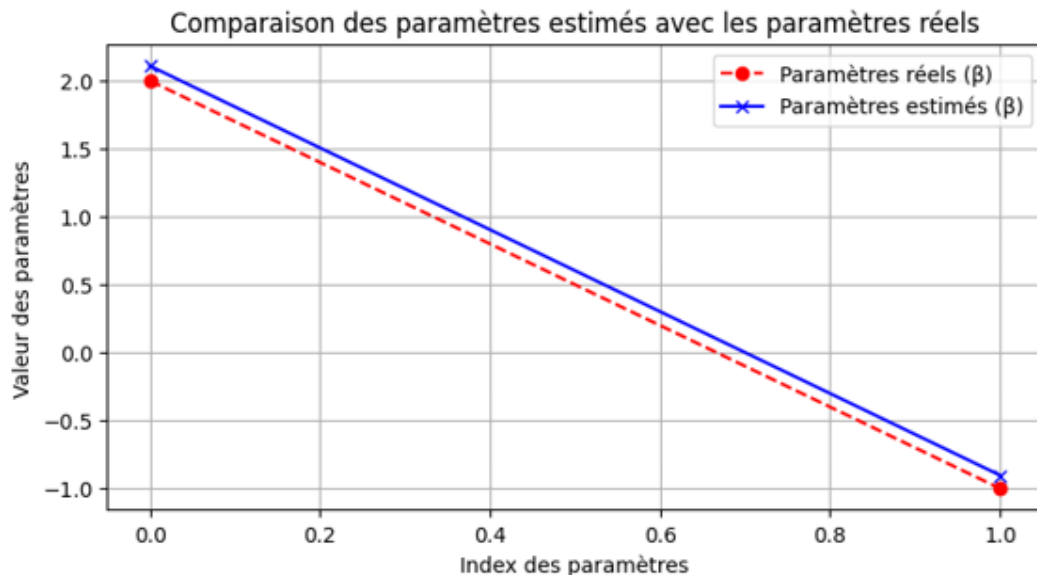


FIGURE 4.11 – graphe de visualisation des paramètres estimés et réels.

L'évolution de la perte quadratique moyenne est visualisée grâce au code suivant :

```
# Visualisation de la perte au fil des itérations
plt.plot(loss_history)
plt.xlabel('Itérations')
plt.ylabel('Perte (Erreur quadratique moyenne)')
plt.title('Convergence de la descente de gradient stochastique (mini-lot)')
plt.grid(True)
plt.show()

# Affichage des résultats
print("Paramètres estimés ( $\beta$ ):", beta)
print("Paramètres réels ( $\beta$ ):", beta_real)
```

FIGURE 4.12 – Code de visualisation de l'erreur quadratique moyenne.

Ce graphique montre une diminution progressive de l'erreur quadratique moyenne. Bien qu'il y ait des oscillations dues à la taille réduite du mini-lot, la convergence est rapide et l'erreur atteint un plateau en quelques centaines d'itérations

## 4.2. Implémentation des méthodes d'optimisation stochastique

---

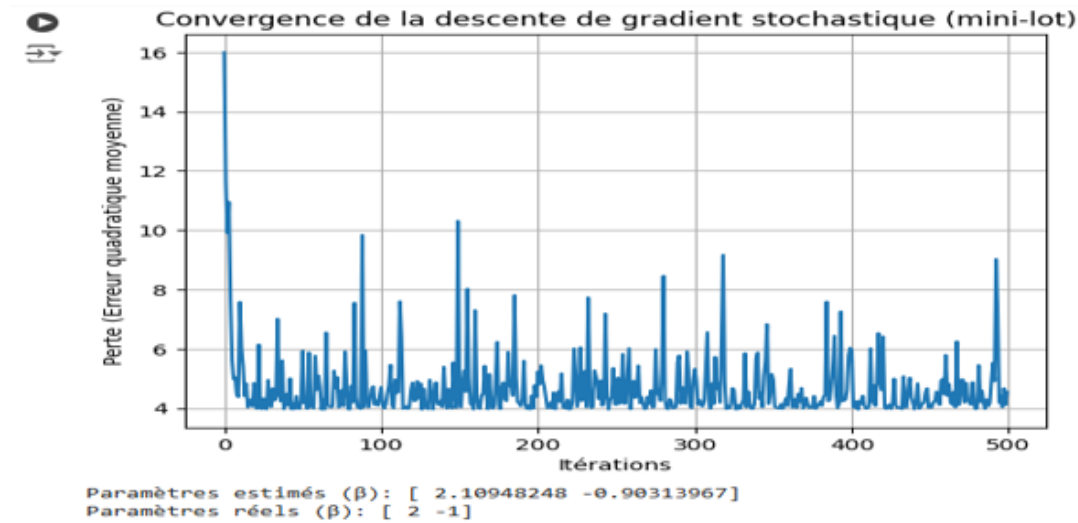


FIGURE 4.13 – graphe de la convergence de descente de gradient .

- L'algorithme converge efficacement vers les valeurs réelles des paramètres, et la perte diminue de manière constante. La petite taille du mini-lot peut introduire des fluctuations dans l'évolution de la perte, mais cela ne compromet pas la convergence globale.

### 2. Mini-lot de taille 20

Le code suivant a été utilisé pour implémenter l'algorithme de descente de gradient stochastique pour le Mini-lot de taille 20. Les paramètres sont mis à jour à chaque itération en fonction de l'échantillon aléatoire choisi.

```
import numpy as np
import matplotlib.pyplot as plt

beta_real = np.array([2, -1])
# Hyperparamètres de l'algorithme SGD
eta = 0.01
n_iterations = 500
batch_size = 20
convergence_threshold = 1e-6
beta = np.random.randn(n_features)
loss_history = []
for iteration in range(n_iterations):
    indices = np.random.choice(n_samples, batch_size, replace=False)
    x_batch = x[indices]
    y_batch = y[indices]
    y_pred = x_batch.dot(beta)
    gradient = -2 * x_batch.T.dot(y_batch - y_pred) / batch_size
    beta = beta - eta * gradient
    loss = np.mean((y - x.dot(beta))**2)
    loss_history.append(loss)
    # Critère de convergence : si la perte diminue moins de manière significative
    if iteration > 1 and abs(loss_history[-1] - loss_history[-2]) < convergence_threshold:
        print(f"Convergence atteinte après {iteration} itérations.")
        break
```

FIGURE 4.14 – Code de la descente de gradient stochastique pour le Mini-lot de taille 20.

Le graphique suivant a été généré à l'aide du code ci-dessous, qui permet de comparer les paramètres réels ( $\beta$ ) avec les paramètres estimés par l'algorithme :

## 4.2. Implémentation des méthodes d'optimisation stochastique

```
# Visualisation des paramètres estimés vs réels
plt.figure(figsize=(8, 6))
plt.plot(beta_real, label="Paramètres réels ( $\beta$ )", marker='o', linestyle='dashed', color='red')
plt.plot(beta, label="Paramètres estimés ( $\beta$ )", marker='x', color='blue')
plt.xlabel('Index des paramètres')
plt.ylabel('Valeur des paramètres')
plt.title('Comparaison des paramètres estimés avec les paramètres réels')
plt.legend()
plt.grid(True)
plt.show()
```

FIGURE 4.15 – Code de visualisation des paramètres estimés et réels.

Dans ce cas, les paramètres estimés (croix bleues) sont encore plus proches des valeurs réelles (rouge), grâce à une meilleure estimation du gradient avec un mini-lot plus grand.

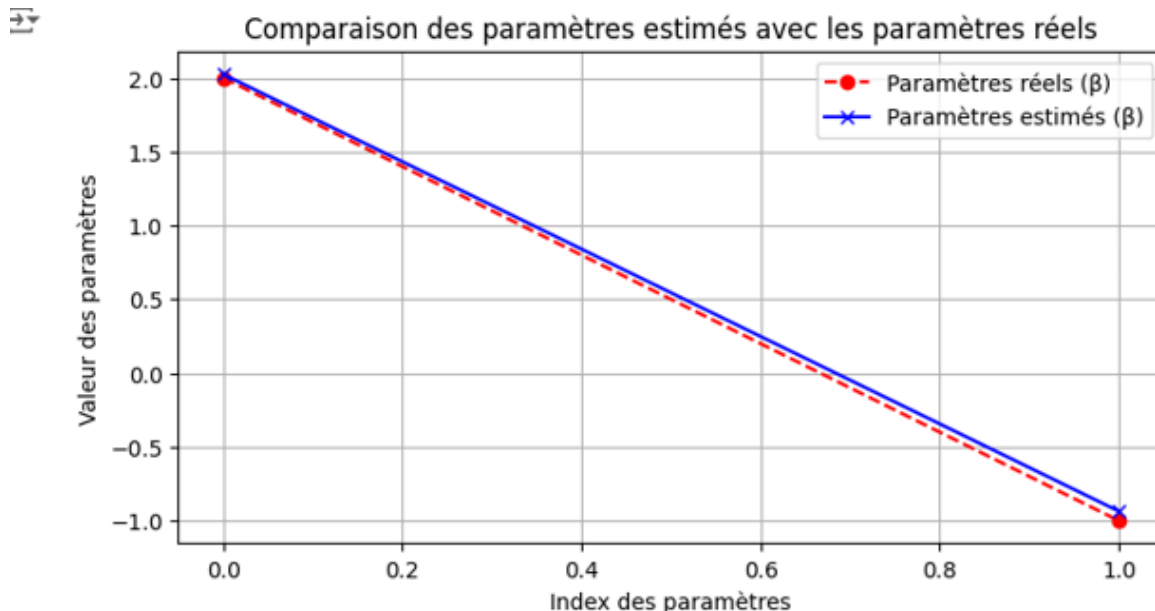


FIGURE 4.16 – graphe de visualisation des paramètres estimés et réels.).

L'évolution de la perte quadratique moyenne est illustrée comme suit :

```
# Visualisation de la perte au fil des itérations
plt.plot(loss_history)
plt.xlabel('Itérations')
plt.ylabel('Perte (Erreur quadratique moyenne)')
plt.title('Convergence de la descente de gradient stochastique (mini-lot)')
plt.grid(True)
plt.show()
# Affichage des résultats
print("Paramètres estimés ( $\beta$ ):", beta)
print("Paramètres réels ( $\beta$ ):", beta_real)
```

FIGURE 4.17 – Code de visualisation de l'erreur quadratique moyenne.

Ce graphique montre une diminution plus régulière de la perte par rapport au cas précédent. Les oscillations sont réduites, ce qui indique une meilleure estimation du gradient à chaque étape.

### 4.3. Descente de Gradient par Mini-lots

---

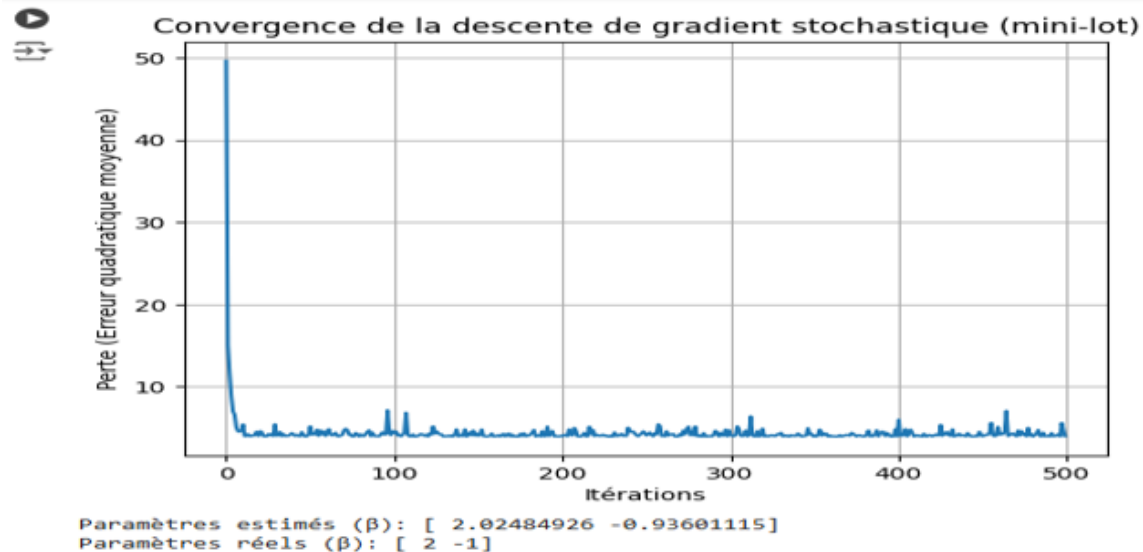


FIGURE 4.18 – graphe de la convergence de descente de gradient.

- Avec une taille de mini-lot de 20, l'algorithme converge encore plus efficacement, avec une perte qui diminue rapidement et de façon plus régulière. Cela met en évidence l'avantage d'un mini-lot légèrement plus grand pour améliorer la stabilité de la convergence tout en conservant une bonne rapidité.

Les résultats démontrent que l'augmentation de la taille du mini-lot améliore la stabilité de la convergence et la précision des paramètres estimés, au prix d'une augmentation modérée du coût de calcul à chaque itération.

## 4.3 Descente de Gradient par Mini-lots

Dans cette partie du projet, nous avons implémenté la version "Mini-Batch" de la descente de gradient pour la régression linéaire. La méthode Mini-Batch consiste à utiliser un sous-ensemble aléatoire des données (appelé mini-batch) à chaque itération pour calculer le gradient et mettre à jour les paramètres du modèle. Ce processus est plus efficace que la descente de gradient classique, car il réduit les coûts computationnels tout en conservant une bonne précision dans l'estimation des paramètres avec :

\*Learning rate = 0.01

\*Écart-type du bruit = 2

\*Taille des mini-batches = 20

### 4.3. Descente de Gradient par Mini-lots

```
▶ import numpy as np
import matplotlib.pyplot as plt

# Paramètres
np.random.seed(42) # Reproductibilité
n_samples = 100 # Nombre de points
n_features = 2 # Dimension des données
sigma = 2 # Écart-type du bruit
batch_size = 20 # Taille du mini-batch
learning_rate = 0.01 # Taux d'apprentissage
n_iterations = 1000 # Nombre d'itérations

# Générer des données x
x = np.random.rand(n_samples, n_features) * 10 # x dans [0, 10]

# Coefficients de la droite réelle
beta = np.array([2, 3]) # Par exemple, pente1 = 2 et pente2 = 3

# Générer du bruit normal
noise = np.random.normal(loc=0, scale=sigma, size=n_samples)

# Générer y : y = beta1*x1 + beta2*x2 + bruit
y = x.dot(beta) + noise
```

FIGURE 4.19 – génération de données bruitées

```
▶ # Générer y : y = beta1*x1 + beta2*x2 + bruit
y = x.dot(beta) + noise
# Initialisation des paramètres (poids et biais)
theta = np.zeros(n_features) # Poids
bias = 0 # Biais

# Mini-batch Gradient Descent
for iteration in range(n_iterations):
    # Mélanger les indices pour créer des mini-batches
    indices = np.random.permutation(n_samples)
    x_shuffled = x[indices]
    y_shuffled = y[indices]

    # Diviser en mini-batches
    for start in range(0, n_samples, batch_size):
        end = min(start + batch_size, n_samples)
        x_batch = x_shuffled[start:end]
        y_batch = y_shuffled[start:end]

        # Calcul des prédictions
        y_pred = x_batch.dot(theta) + bias

        # Calcul du gradient
        gradient_theta = -2 * x_batch.T.dot(y_batch - y_pred) / batch_size
```

FIGURE 4.20 – Implémentation du Mini-batch Gradient Descent pour la régression linéaire

### 4.3. Descente de Gradient par Mini-lots

---

```
# Calcul du gradient
gradient_theta = -2 * x_batch.T.dot(y_batch - y_pred) / batch_size
gradient_bias = -2 * np.sum(y_batch - y_pred) / batch_size

# Mise à jour des paramètres
theta -= learning_rate * gradient_theta
bias -= learning_rate * gradient_bias

# Affichage de la progression (facultatif)
if iteration % 100 == 0:
    loss = np.mean((y_pred - y_batch) ** 2)
    print(f"Iteration {iteration}, Loss: {loss:.4f}")

# Afficher les résultats
print(f"Valeur estimée des paramètres (theta): {theta}")
print(f"Valeur estimée du biais: {bias}")

# Calculer les prédictions sur toutes les données
y_pred_final = x.dot(theta) + bias

# Visualisation des résultats
plt.figure(figsize=(8, 6))
plt.scatter(x[:, 0], y, color="blue", label="Données bruitées")
plt.scatter(x[:, 0], y_pred_final, color="red", label="Prédictions")
```

FIGURE 4.21 – Implémentation du calcul des gradients et affichage de la progression du Mini-batch Gradient Descent.

```
# Visualisation des résultats
plt.figure(figsize=(8, 6))
plt.scatter(x[:, 0], y, color="blue", label="Données bruitées")
plt.scatter(x[:, 0], y_pred_final, color="red", label="Prédictions")
plt.xlabel("x1")
plt.ylabel("y")
plt.title("Régression linéaire avec Mini-Batch Gradient Descent")
plt.legend()
plt.grid(True)
plt.show()
```

FIGURE 4.22 – Visualisation des résultats

### 4.3. Descente de Gradient par Mini-lots

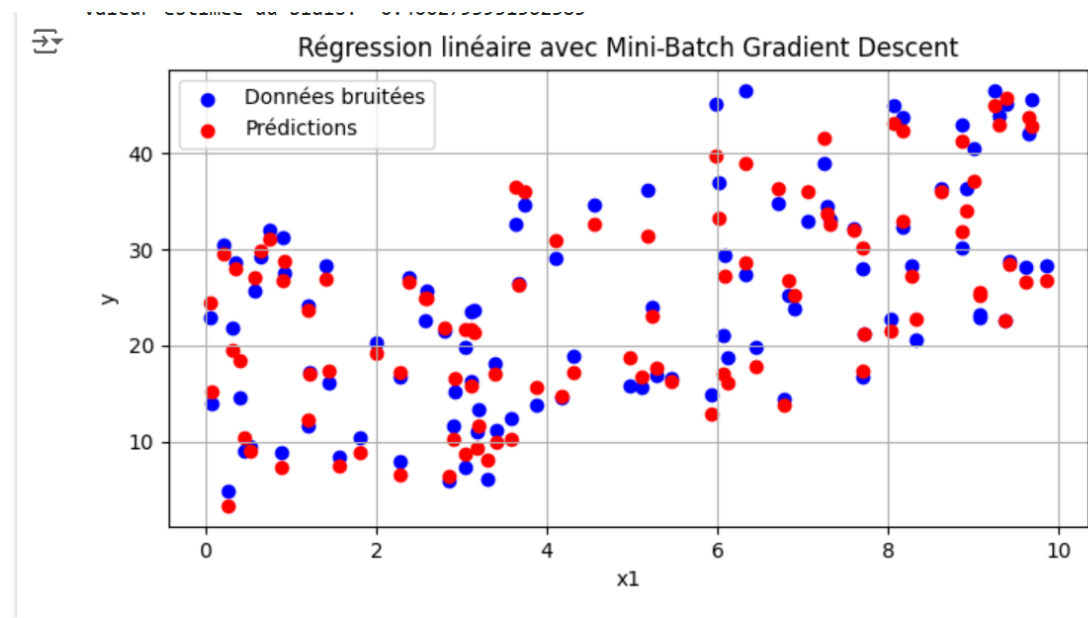


FIGURE 4.23 – Régression linéaire avec Mini-Batch Gradient Descent

L'image illustre les résultats de la régression linéaire après l'optimisation. Les points bleus représentent les données bruitées et les points rouges montrent les prédictions du modèle. On remarque une corrélation entre les données et les prédictions, ce qui prouve que le modèle a réussi à apprendre la tendance générale des données.

```

▶ Iteration 0, Loss: 6.1496
▶ Iteration 100, Loss: 6.5622
▶ Iteration 200, Loss: 2.7886
▶ Iteration 300, Loss: 3.4131
▶ Iteration 400, Loss: 6.0891
▶ Iteration 500, Loss: 6.0953
▶ Iteration 600, Loss: 5.0860
▶ Iteration 700, Loss: 4.8005
▶ Iteration 800, Loss: 3.3264
▶ Iteration 900, Loss: 4.1004
▶ Valeur estimée des paramètres (theta): [2.01865318 3.04866575]
▶ Valeur estimée du biais: -0.4602793951562385

```

FIGURE 4.24 – Évolution de la fonction de perte (loss) au fil des itérations avec un learning rate de 0.01

L'image montre l'évolution du "loss" en fonction des itérations. On remarque une chute significative au début, suivie d'une stabilisation. Cela confirme que l'algorithme de Mini-Batch Gradient Descent fonctionne efficacement pour trouver un minimum, mais il y a un bruit à partir de 400 itérations, ce qui est normal avec cette approche stochastique.

### 4.3. Descente de Gradient par Mini-lots

---

visualisation Avec un learning rate = 0.001



Régression linéaire avec Mini-Batch Gradient Descent

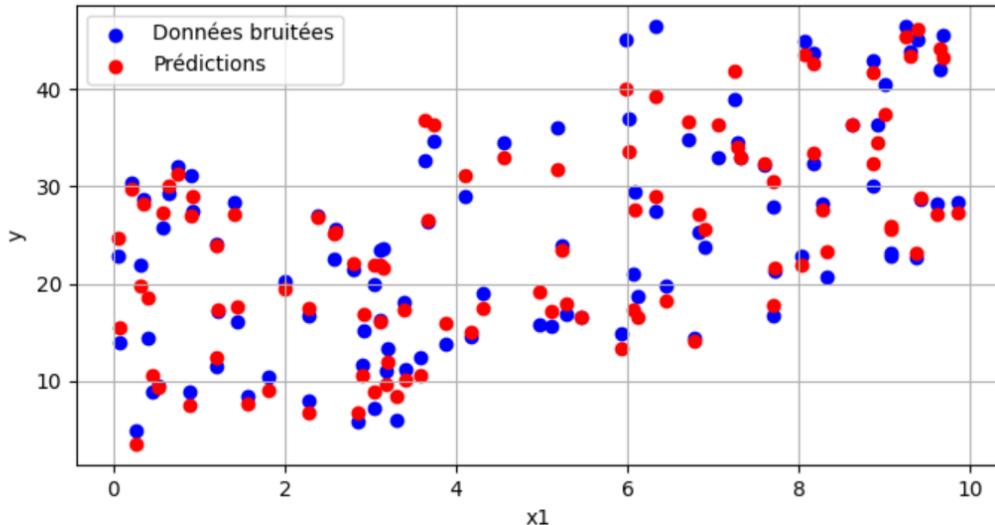


FIGURE 4.25 – Régression linéaire avec Mini-Batch Gradient Descent Avec un learning rate = 0.001

Cette image montre que Lorsqu'on diminue le taux d'apprentissage, les mises à jour des paramètres deviennent plus petites et plus précises, ce qui permet d'éviter des oscillations ou des dépassements du minimum, ce qui rend la solution plus stable et plus proche des valeurs réelles.

```
→ Iteration 0, Loss: 366.8661
Iteration 100, Loss: 6.9425
Iteration 200, Loss: 3.7430
Iteration 300, Loss: 3.7144
Iteration 400, Loss: 6.0790
Iteration 500, Loss: 5.4779
Iteration 600, Loss: 5.3852
Iteration 700, Loss: 3.9894
Iteration 800, Loss: 3.2877
Iteration 900, Loss: 3.7277
Valeur estimée des paramètres (theta): [2.0475431 3.04847364]
Valeur estimée du biais: -0.2514824010487892
```

FIGURE 4.26 – Évolution de la fonction de perte (loss) au fil des itérations avec un learning rate de 0.001

La perte commence à 366.866 et diminue progressivement, atteignant 6.94 à l'itération 100. Après 500 itérations, elle est réduite à 5.47, et après 900 itérations, elle atteint 3.7277. Le modèle prend plus de temps pour converger en raison de la taille des mises à jour plus petites, avec une diminution de la perte plus lente au fil du temps. Les paramètres estimés finaux sont [ 2.0475431 , 3.04847364 ] [2.0475431,3.04847364] pour les poids et 0.2514824010487892 0.2514824010487892 pour le biais. Les valeurs sont proches des valeurs réelles, mais le modèle met plus de temps pour converger, ce qui est une caractéristique du learning rate plus faible.

Cette observation montre qu'un learning rate plus faible favorise une meilleure précision dans les prédictions, même si la convergence est plus lente.

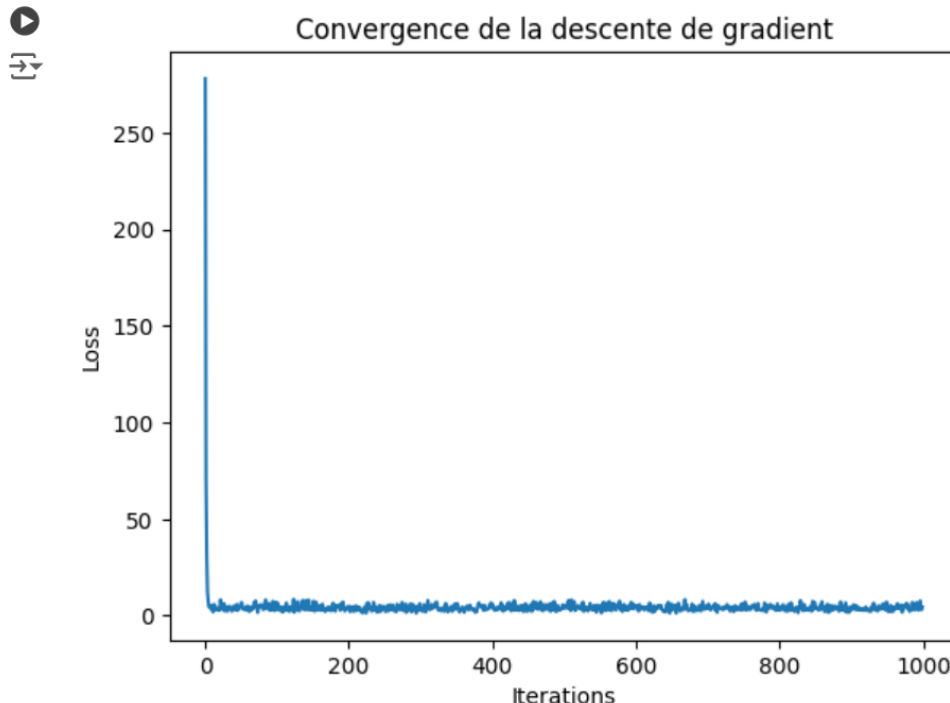


FIGURE 4.27 – graphe d’Évolution de la fonction de perte (loss) au fil des itérations avec un learning rate de 0.001

Ce graphe montre l’évolution de la fonction de coût (loss) à chaque itération. On observe une forte diminution du coût au début, ce qui montre une convergence Plus rapide du modèle grâce à l’optimisation par gradient. Cela indique que le modèle ajuste rapidement ses paramètres pour réduire l’erreur.mais peut encore y avoir de petites oscillations dues à l’approximation stochastique.

## 4.4 Algorithmes d’optimisation stochastiques avancés

### 4.4.1 RMSprop (Root Mean Square Propagation)

Dans cette section, nous allons implémenter une variante avancée de la descente de gradient RMSprop, qui adapte dynamiquement les taux d’apprentissage pour chaque paramètre, permettant ainsi une optimisation plus rapide et plus stable, particulièrement dans des problèmes complexes ou avec des gradients de grande variance.

## 4.4. Algorithmes d'optimisation stochastiques avancés

---

```
▶ import numpy as np
import matplotlib.pyplot as plt

# Paramètres
np.random.seed(42)
n_samples = 100
n_features = 2
sigma = 2
batch_size = 20
learning_rate = 0.001
n_iterations = 1000
beta = 0.9
epsilon = 1e-8      # Petit nombre pour éviter la division par zéro
x = np.random.rand(n_samples, n_features) * 10 # x dans [0, 10]
beta_true = np.array([2, 3]) # pente1 = 2 et pente2 = 3
# Générer du bruit normal
noise = np.random.normal(loc=0, scale=sigma, size=n_samples)
y = x.dot(beta_true) + noise
theta = np.zeros(n_features)
bias = 0
```

FIGURE 4.28 – génération des données 2D avec un bruit de loi normal

```
▶ # Fonction de perte
def compute_loss(x_batch, y_batch, theta, bias):
    y_pred = x_batch.dot(theta) + bias
    return np.mean((y_pred - y_batch) ** 2)
# Variables pour RMSprop
v_theta = np.zeros_like(theta) # Moyenne des carrés des gradients pour les poids
v_bias = 0

# Mini-batch Gradient Descent avec RMSprop
losses = []
for iteration in range(n_iterations):
    indices = np.random.permutation(n_samples)
    x_shuffled = x[indices]
    y_shuffled = y[indices]
    # Diviser en mini-batches
    for start in range(0, n_samples, batch_size):
        end = min(start + batch_size, n_samples)
        x_batch = x_shuffled[start:end]
        y_batch = y_shuffled[start:end]
        # Calcul des prédictions
        y_pred = x_batch.dot(theta) + bias
```

FIGURE 4.29 – mini-batch gradient descent avec RMSprop

## 4.4. Algorithmes d'optimisation stochastiques avancés

```
# Calcul du gradient
gradient_theta = -2 * x_batch.T.dot(y_batch - y_pred) / batch_size
gradient_bias = -2 * np.sum(y_batch - y_pred) / batch_size
# Mise à jour des moyennes mobiles des carrés des gradients
v_theta = beta * v_theta + (1 - beta) * gradient_theta**2
v_bias = beta * v_bias + (1 - beta) * gradient_bias**2
# Mise à jour des paramètres avec RMSprop
theta -= learning_rate * gradient_theta / (np.sqrt(v_theta) + epsilon)
bias -= learning_rate * gradient_bias / (np.sqrt(v_bias) + epsilon)
loss = compute_loss(x_batch, y_batch, theta, bias)
losses.append(loss)
if iteration % 100 == 0:
    print(f"Iteration {iteration}, Loss: {loss:.4f}")
print(f"Valeur estimée des paramètres (theta): {theta}")
print(f"Valeur estimée du biais: {bias}")
y_pred_final = x.dot(theta) + bias
```

FIGURE 4.30 – mini-batch gradient descent avec RMSprop

```
# Visualisation des résultats
plt.figure(figsize=(8, 4))
plt.scatter(x[:, 0], y, color="blue", label="Données bruitées")
plt.scatter(x[:, 0], y_pred_final, color="red", label="Prédictions")
plt.xlabel("x1")
plt.ylabel("y")
plt.title("Régression linéaire avec RMSprop")
plt.legend()
plt.grid(True)
plt.show()

# Visualiser la convergence de la descente de gradient
plt.plot(range(n_iterations), losses)
plt.xlabel('Iterations')
plt.ylabel('Loss')
plt.title('Convergence de RMSprop')
plt.show()
```

FIGURE 4.31 – Visualisation de la convergence du descente de gradient

```
→ Iteration 0, Loss: 864.9333
Iteration 100, Loss: 575.5859
Iteration 200, Loss: 176.9816
Iteration 300, Loss: 98.9992
Iteration 400, Loss: 34.1628
Iteration 500, Loss: 6.9098
Iteration 600, Loss: 7.2959
Iteration 700, Loss: 4.5338
Iteration 800, Loss: 4.1196
Iteration 900, Loss: 4.0603
Valeur estimée des paramètres (theta): [1.94537293 2.9270505 ]
Valeur estimée du biais: 1.0452497512426258
```

FIGURE 4.32 – les valeurs de MSE pour chaque itération

Les valeurs finales des paramètres estimés, soit  $[1.94537293, 2.927505]$  pour les poids

#### 4.4. Algorithmes d'optimisation stochastiques avancés

---

et 1.0452497512426258 pour le biais, sont proches des valeurs réelles utilisées pour générer les données (2 et 3 pour les poids), ce qui montre que l'algorithme a réussi à minimiser efficacement l'erreur.

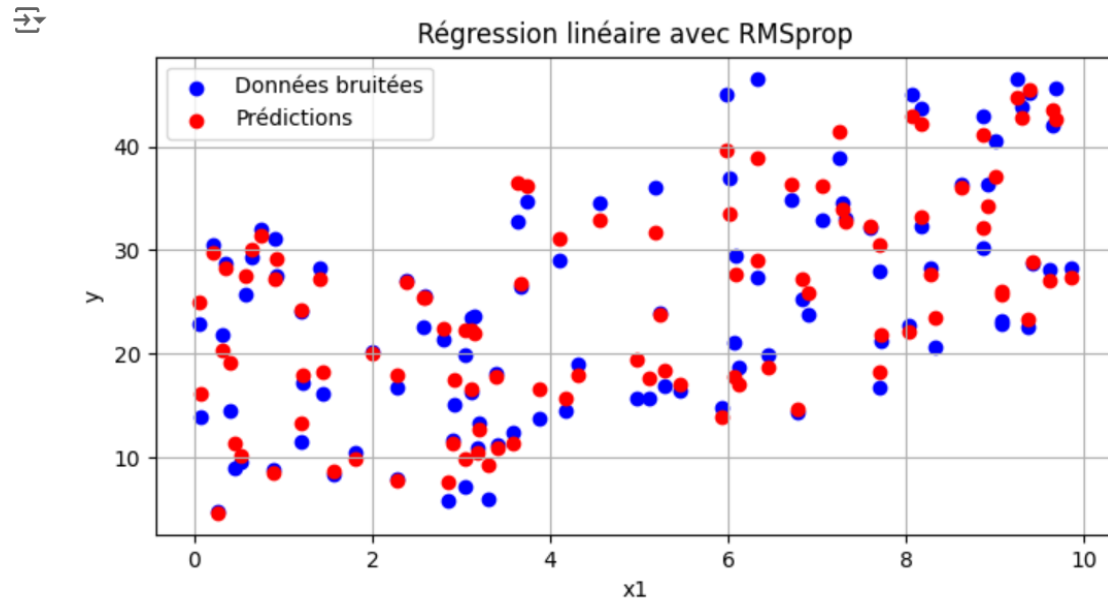


FIGURE 4.33 – Graphe de régression linéaire avec RMSprop

Le graphique montre les résultats de la régression linéaire avec l'optimiseur RMSprop. Les points bleus représentent les données bruitées, tandis que les points rouges indiquent les prédictions du modèle. On peut observer que le modèle est parvenu à ajuster les paramètres de manière à minimiser l'écart entre les données réelles et les prédictions, ce qui montre une bonne capacité de généralisation de l'algorithme RMSprop. Le modèle a su capter la tendance générale des données malgré le bruit ajouté, ce qui met en évidence l'efficacité de RMSprop pour des tâches de régression avec des données bruitées.

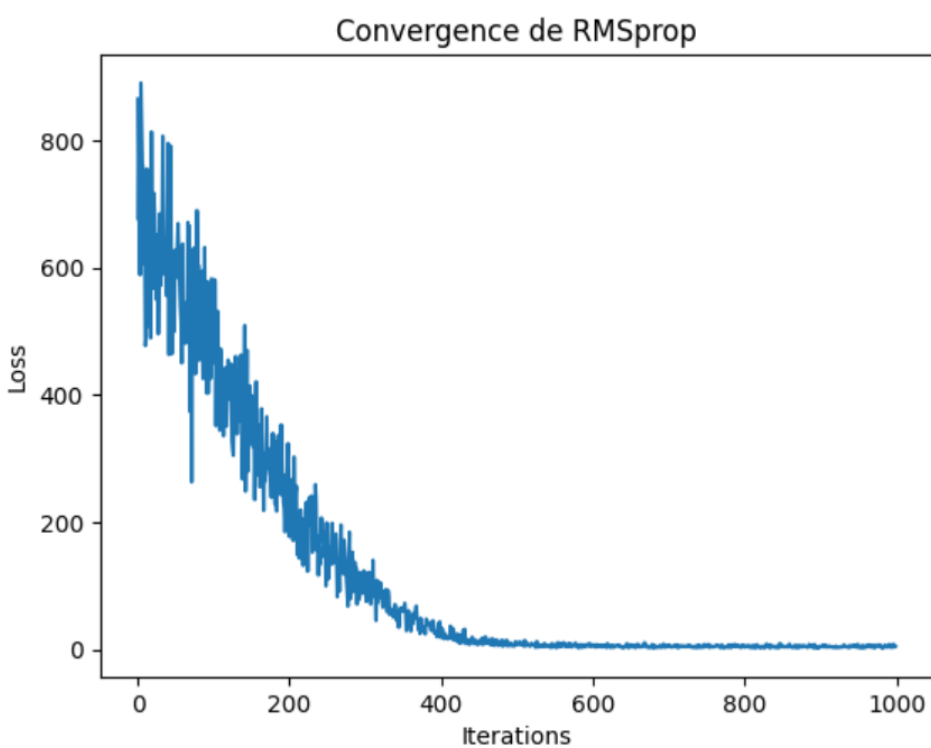


FIGURE 4.34 – Graphe de convergence de RMSprop

Les résultats obtenus montrent que l'algorithme RMSprop a bien convergé au fil des itérations. Dès le début de l'entraînement, la perte est relativement élevée (864.9333 à l'itération 0), ce qui est attendu, étant donné que les paramètres ont été initialisés à zéro et que le modèle n'a pas encore appris la relation sous-jacente des données. Cependant, au fur et à mesure des itérations, la perte diminue de manière significative, indiquant que l'algorithme ajuste progressivement les paramètres pour mieux s'adapter aux données.

### 4.4.2 Algorithme Adam

Dans cette section, nous implémentons l'algorithme Adam pour résoudre le problème de régression linéaire. Cet algorithme d'optimisation combine les avantages de l'adaptation des taux d'apprentissage (comme RMSprop) avec les moments de premier ordre (comme la descente de gradient stochastique classique) pour améliorer la convergence et la stabilité. Pour atteindre cet objectif, le code suivant a été utilisé. Ce code génère des données simulées, initialise les paramètres du modèle, et implémente l'algorithme Adam pour optimiser les coefficients de régression. Les commentaires inclus dans le code permettent de mieux comprendre les étapes clés de l'implémentation.



```
import numpy as np
import matplotlib.pyplot as plt
# Initialisation des paramètres (poids et biais)
theta = np.zeros(n_features)
bias = 0
# Hyperparamètres pour Adam
beta1 = 0.9
beta2 = 0.999
epsilon = 1e-8
# Variables d'optimisation pour Adam
m = np.zeros(n_features)
v = np.zeros(n_features)
t = 0
# Fonction de perte
def compute_loss(x_batch, y_batch, theta, bias):
    y_pred = x_batch.dot(theta) + bias
    return np.mean((y_pred - y_batch) ** 2)
# Optimisation avec Adam
losses = []
for iteration in range(n_iterations):
    indices = np.random.permutation(n_samples)
    x_shuffled = x[indices]
    y_shuffled = y[indices]
```

FIGURE 4.35 – Code de l'algorithme de Adam .

## 4.4. Algorithmes d'optimisation stochastiques avancés

```
for start in range(0, n_samples, batch_size):
    end = min(start + batch_size, n_samples)
    x_batch = x_shuffled[start:end]
    y_batch = y_shuffled[start:end]
    # Calcul des prédictions
    y_pred = x_batch.dot(theta) + bias
    gradient_theta = -2 * x_batch.T.dot(y_batch - y_pred) / batch_size
    gradient_bias = -2 * np.sum(y_batch - y_pred) / batch_size
    t += 1
    # Calcul des moments (Adam)
    m = beta1 * m + (1 - beta1) * gradient_theta
    v = beta2 * v + (1 - beta2) * gradient_theta ** 2
    m_hat = m / (1 - beta1 ** t)
    v_hat = v / (1 - beta2 ** t)
    theta -= learning_rate * m_hat / (np.sqrt(v_hat) + epsilon)
    bias -= learning_rate * gradient_bias
    # Calcul de la perte à chaque itération
    loss = compute_loss(x, y, theta, bias)
    losses.append(loss)
    if iteration % 100 == 0:
        print(f"Iteration {iteration}, Loss: {loss:.4f}")
print(f"Valeur estimée des paramètres (theta): {theta}")
print(f"Valeur estimée du biais: {bias}")
```

FIGURE 4.36 – Code de l'algorithme de Adam.

Ce code affiche des résultats illustrés dans la figure ci-dessous. La perte quadratique moyenne, calculée à chaque itération, est affichée périodiquement pour suivre la progression de l'algorithme. Une diminution continue de cette perte indique que les paramètres sont ajustés efficacement pour réduire l'écart entre les prédictions du modèle et les valeurs réelles des données. À la fin de l'exécution, les valeurs finales des coefficients du modèle, représentant l'impact des variables indépendantes sur la variable cible, sont également affichées. De plus, la valeur finale du biais, correspondant à l'ordonnée à l'origine du modèle, est présentée, montrant comment elle ajuste les prédictions globales. Ces résultats permettent de vérifier que l'algorithme converge correctement et produit des paramètres cohérents avec les données simulées.

#### 4.4. Algorithmes d'optimisation stochastiques avancés

---

```
→ Iteration 0, Loss: 698.3866
Iteration 100, Loss: 128.9132
Iteration 200, Loss: 70.8376
Iteration 300, Loss: 60.1815
Iteration 400, Loss: 53.1061
Iteration 500, Loss: 46.3156
Iteration 600, Loss: 39.8168
Iteration 700, Loss: 33.7903
Iteration 800, Loss: 28.3950
Iteration 900, Loss: 23.7082
Valeur estimée des paramètres (theta): [1.31103275 1.96658527]
Valeur estimée du biais: 9.684330291699094
```

FIGURE 4.37 – La perte quadratique moyenne pour chaque itération ).

Le code ci-dessous montre les prédictions obtenues par rapport aux données bruitées :

```
# Visualisation des résultats
y_pred_final = x.dot(theta) + bias

plt.figure(figsize=(8, 6))
plt.scatter(x[:, 0], y, color="blue", label="Données bruitées")
plt.scatter(x[:, 0], y_pred_final, color="red", label="Prédictions")
plt.xlabel("x1")
plt.ylabel("y")
plt.title("Régression linéaire avec Adam")
plt.legend()
plt.grid(True)
plt.show()
```

FIGURE 4.38 – Code de visualisation des résultats de l'algorithme ).

Le graphique ci-dessous illustre les prédictions obtenues à l'aide des paramètres estimés ( $\theta$  et biais) sont comparées aux données bruitées initiales. Les points bleus représentent les données bruitées, tandis que les points rouges correspondent aux prédictions du modèle. On observe que les prédictions s'alignent bien sur la tendance générale des données, montrant que le modèle a correctement appris la relation entre les variables indépendantes et la variable cible, même en présence de bruit.

#### 4.4. Algorithmes d'optimisation stochastiques avancés

---

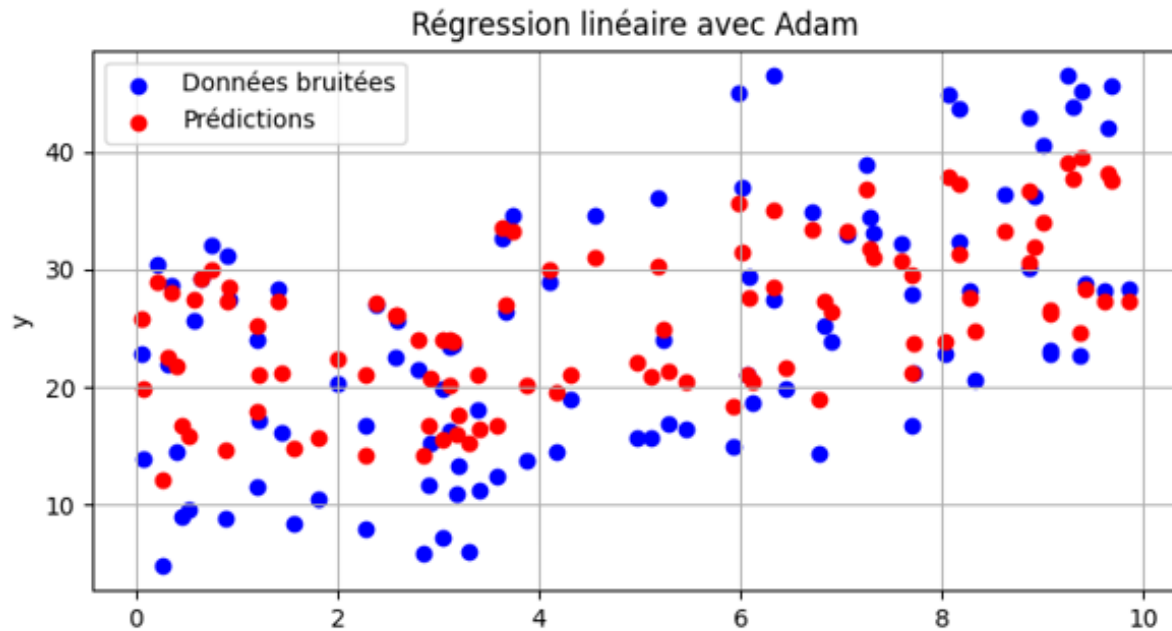


FIGURE 4.39 – graphe de régression linéaire avec Adam.

L'évolution de la perte quadratique moyenne au cours des itérations a été visualisée grâce au code suivant :

```
# Visualiser la convergence
plt.plot(range(n_iterations), losses)
plt.xlabel('Iterations')
plt.ylabel('Loss')
plt.title('Convergence de la descente de gradient avec Adam')
plt.show()
```

FIGURE 4.40 – Code de visualisation de la convergence

Le graphique ci-dessous illustre l'évolution de la perte quadratique moyenne au fil des itérations. La courbe montre une diminution rapide de l'erreur au début de l'optimisation, suivie d'une stabilisation progressive. Cette évolution confirme que l'algorithme Adam converge efficacement et atteint un minimum de la fonction de perte, garantissant ainsi des paramètres optimaux pour le modèle.

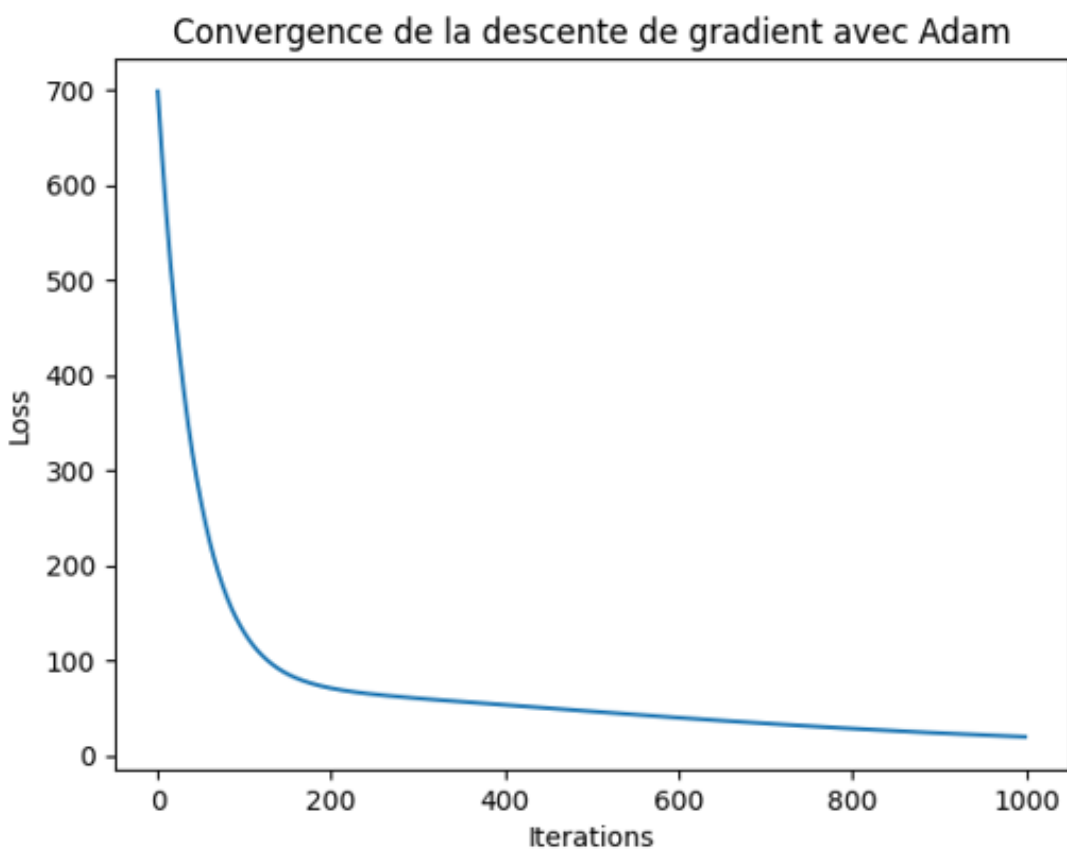


FIGURE 4.41 – graphe de la convergence avec Adam .

- Les résultats obtenus montrent que l'algorithme Adam a convergé efficacement vers une solution optimale. Les prédictions du modèle s'alignent bien avec les données bruitées, indiquant que les paramètres estimés ( $\theta$  et biais) capturent correctement la relation linéaire sous-jacente. De plus, la diminution rapide de la perte quadratique moyenne au début, suivie d'une stabilisation, confirme la capacité de l'algorithme à ajuster les paramètres tout en réduisant l'erreur. Ces résultats valident la robustesse et l'efficacité de l'algorithme Adam dans ce contexte de régression linéaire avec des données bruitées.

# 5 | Analyse des résultats

## 5.1 Comparaison des algorithmes

Dans cette section, nous comparons les performances de trois algorithmes de descente de gradient : SGD, Mini-batch et Adam. L'objectif est d'analyser leur vitesse de convergence ainsi que la qualité des solutions obtenues en fonction de l'évolution de la fonction de perte au fil des itérations.

```
1 import numpy as np
2 import matplotlib.pyplot as plt
3 # Param tres
4 np.random.seed(42)
5 n_samples = 100
6 n_features = 2
7 sigma = 2
8 batch_size = 20
9 learning_rate = 0.001
10 n_iterations = 1000
11 beta = 0.9          # Facteur de d croissance pour RMSprop
12 epsilon = 1e-8      # Petit nombre pour viter la division par z ro
13
14 # G n rer des donn es x
15 x = np.random.rand(n_samples, n_features) * 10
16 # Coefficients de la droite r elle
17 beta_true = np.array([2, 3])
18 # G n rer du bruit normal
19 noise = np.random.normal(loc=0, scale=sigma, size=n_samples)
20 y = x.dot(beta_true) + noise
```

Listing 5.1 – Génération des données bruitées avec bruit aléatoire.

## 5.1. Comparaison des algorithmes

```
▶ import numpy as np
import matplotlib.pyplot as plt
# Paramètres
np.random.seed(42)
n_samples = 100
n_features = 2
sigma = 2
batch_size = 20
learning_rate = 0.001
n_iterations = 1000
beta = 0.9          # Facteur de décroissance pour RMSprop
epsilon = 1e-8       # Petit nombre pour éviter la division par zéro

# Générer des données x
x = np.random.rand(n_samples, n_features) * 10
# Coefficients de la droite réelle
beta_true = np.array([2, 3])
# Générer du bruit normal
noise = np.random.normal(loc=0, scale=sigma, size=n_samples)
y = x.dot(beta_true) + noise
```

FIGURE 5.1 – génération des données bruitées

```
# Initialisation des paramètres (poids et biais)
theta = np.zeros(n_features) # Poids
bias = 0 # Biais
# Fonction de perte
def compute_loss(x_batch, y_batch, theta, bias):
    y_pred = x_batch.dot(theta) + bias
    return np.mean((y_pred - y_batch) ** 2)

# --- SGD ---
def sgd():
    theta_sgd = np.zeros(n_features)
    bias_sgd = 0
    losses_sgd = []
    for iteration in range(n_iterations):
        for i in range(n_samples):
            # Calcul des prédictions
            y_pred = x[i].dot(theta_sgd) + bias_sgd

            # Calcul des gradients
            gradient_theta = -2 * x[i] * (y[i] - y_pred)
            gradient_bias = -2 * (y[i] - y_pred)
```

FIGURE 5.2 – initialisation des paramètres et implmentation du méthode SGD

## 5.1. Comparaison des algorithmes

---

```
# Mise à jour des paramètres
theta_sgd -= learning_rate * gradient_theta
bias_sgd -= learning_rate * gradient_bias

loss = compute_loss(x, y, theta_sgd, bias_sgd)
losses_sgd.append(loss)
return losses_sgd, theta_sgd, bias_sgd
# --- Mini-batch Gradient Descent
def mini_batch_gd():
    theta_mb = np.zeros(n_features)
    bias_mb = 0
    losses_mb = []
    for iteration in range(n_iterations):
        indices = np.random.permutation(n_samples)
        x_shuffled = x[indices]
        y_shuffled = y[indices]
        for start in range(0, n_samples, batch_size):
            end = min(start + batch_size, n_samples)
            x_batch = x_shuffled[start:end]
            y_batch = y_shuffled[start:end]
            # Calcul des prédictions
```

FIGURE 5.3 – implmentation du méthode mini-batch gradient descent

```
-- 
# Calcul des prédictions
y_pred = x_batch.dot(theta_mb) + bias_mb
# Calcul du gradient
gradient_theta = -2 * x_batch.T.dot(y_batch - y_pred) / batch_size
gradient_bias = -2 * np.sum(y_batch - y_pred) / batch_size
# Mise à jour des paramètres
theta_mb -= learning_rate * gradient_theta
bias_mb -= learning_rate * gradient_bias
loss = compute_loss(x_batch, y_batch, theta_mb, bias_mb)
losses_mb.append(loss)

return losses_mb, theta_mb, bias_mb

# --- Adam ---
def adam():
    theta_adam = np.zeros(n_features)
    bias_adam = 0
    v_theta = np.zeros_like(theta_adam)
    v_bias = 0
    m_theta = np.zeros_like(theta_adam)
    m_bias = 0
    losses_adam = []
```

FIGURE 5.4 – algorithme d'Adam

## 5.1. Comparaison des algorithmes

---

```
for iteration in range(n_iterations):
    for i in range(n_samples):
        # Calcul des prédictions
        y_pred = x[i].dot(theta_adam) + bias_adam

        # Calcul des gradients
        gradient_theta = -2 * x[i] * (y[i] - y_pred)
        gradient_bias = -2 * (y[i] - y_pred)

        # Moyenne des gradients (momentum)
        m_theta = beta * m_theta + (1 - beta) * gradient_theta
        m_bias = beta * m_bias + (1 - beta) * gradient_bias

        # Moyenne des carrés des gradients
        v_theta = beta * v_theta + (1 - beta) * gradient_theta**2
        v_bias = beta * v_bias + (1 - beta) * gradient_bias**2

        # Mise à jour des paramètres avec Adam
        theta_adam -= learning_rate * m_theta / (np.sqrt(v_theta) + epsilon)
        bias_adam -= learning_rate * m_bias / (np.sqrt(v_bias) + epsilon)
loss = compute_loss(x, y, theta_adam, bias_adam)
```

FIGURE 5.5 – calcul des prédictions et mise à jour paramètres

```
loss = compute_loss(x, y, theta_adam, bias_adam)
losses_adam.append(loss)
return losses_adam, theta_adam, bias_adam
# Comparaison des trois algorithmes
losses_sgd, theta_sgd, bias_sgd = sgd()
losses_mb, theta_mb, bias_mb = mini_batch_gd()
losses_adam, theta_adam, bias_adam = adam()
plt.figure(figsize=(12, 4))
plt.subplot(1, 2, 1)
plt.plot(losses_sgd, label="SGD")
plt.plot(losses_mb, label="Mini-batch")
plt.plot(losses_adam, label="Adam")
plt.xlabel("Iterations")
plt.ylabel("Loss")
plt.title("Comparaison des algorithmes")
plt.legend()
plt.grid(True)
```

FIGURE 5.6 – calcul du MSE pour les trois algorithmes

## 5.1. Comparaison des algorithmes

```

plt.grid(True)
# Affichage des paramètres estimés
print("SGD - Paramètres estimés (theta):", theta_sgd)
print("Mini-batch - Paramètres estimés (theta):", theta_mb)
print("Adam - Paramètres estimés (theta):", theta_adam)
plt.subplot(1, 2, 2)
plt.scatter(x[:, 0], y, color="blue", label="Données")
plt.scatter(x[:, 0], x.dot(theta_sgd) + bias_sgd, color="red", label="Prédictions (SGD)")
plt.scatter(x[:, 0], x.dot(theta_mb) + bias_mb, color="green", label="Prédictions (Mini-batch)")
plt.scatter(x[:, 0], x.dot(theta_adam) + bias_adam, color="orange", label="Prédictions (Adam)")
plt.xlabel("x1")
plt.ylabel("y")
plt.title("Comparaison des prédictions")
plt.legend()
plt.grid(True)
plt.tight_layout()
plt.show()

```

FIGURE 5.7 – visualisation des résultats

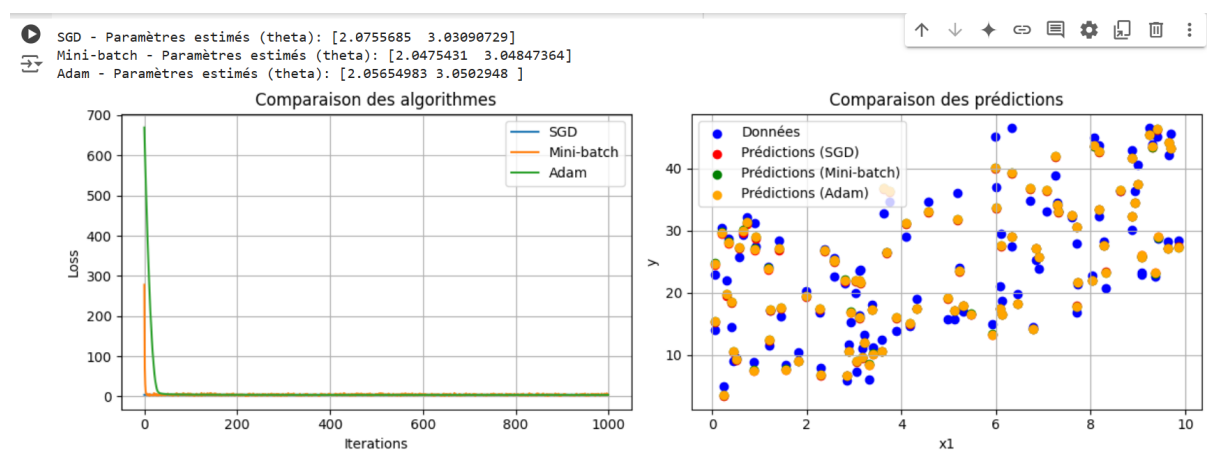


FIGURE 5.8 – Comparaison des algorithmes de descente de gradient : SGD, Mini-batch et Adam. À gauche, l'évolution de la fonction de perte (loss) au fil des itérations, et à droite, la comparaison des prédictions (en rouge pour SGD, en vert pour Mini-batch, et en orange pour Adam) par rapport aux données réelles (points bleus).

Le graphique montre l'évolution de la fonction de perte (loss) au fil des itérations pour les trois algorithmes de descente de gradient : SGD, Mini-batch, et Adam.

### SGD (Stochastic Gradient Descent) :

Le SGD présente une forte oscillation au début de l'entraînement, avec une réduction très lente de la perte. Cela est dû au fait que l'algorithme effectue des mises à jour après chaque exemple de données, ce qui entraîne des mouvements erratiques avant de converger. Bien qu'il converge à une solution correcte à long terme, il faut beaucoup plus d'itérations pour atteindre une perte faible, et la convergence est plus bruyante.

### Mini-batch Gradient Descent :

Le Mini-batch est plus stable que le SGD, avec une réduction plus régulière de la perte. Il combine les avantages de l'optimisation par lot (stabilité) et de l'optimisation stochastique (rapide). Cependant, bien qu'il soit plus rapide que le SGD, la perte diminue encore relativement lentement par rapport à Adam.

## 5.2. Analyse de la sensibilité au bruit

---

**Adam :**

Adam converge de manière significativement plus rapide, avec une chute rapide de la perte dès les premières itérations. La perte se stabilise rapidement, avec moins d'oscillations, grâce à l'adaptation dynamique du taux d'apprentissage pour chaque paramètre. Adam atteint une perte très faible beaucoup plus rapidement que les deux autres algorithmes, ce qui en fait un choix optimal pour des problèmes complexes ou des réseaux de neurones profonds.

## 5.2 Analyse de la sensibilité au bruit

Bruit dans les Méthodes d'Optimisation Stochastique Dans cette section, nous analysons la sensibilité des algorithmes d'optimisation stochastique (SGD, Mini-batch Gradient Descent, Adam, RMSprop) à différents niveaux de bruit. Les simulations utilisent trois niveaux de bruit ( $\sigma = 1, 3, 5$ ) pour étudier leur impact sur la convergence et les performances des algorithmes. Les données de régression linéaire sont générées en ajoutant un bruit gaussien de différents niveaux ( $\sigma$ ) au modèle linéaire, en utilisant le code ci-dessous :

```
[1] import numpy as np
    import matplotlib.pyplot as plt

    # Fixer les paramètres de base
    np.random.seed(42)
    n_samples = 100
    n_features = 2
    beta_real = np.array([2, 3]) # Coefficients réels

    # Niveaux de bruit
    noise_levels = [1, 3, 5]
    datasets = []

    # Générer des données pour chaque niveau de bruit
    for sigma in noise_levels:
        x = np.random.rand(n_samples, n_features) * 10
        noise = np.random.normal(loc=0, scale=sigma, size=n_samples)
        y = x.dot(beta_real) + noise
        datasets.append((x, y, sigma))
```

FIGURE 5.9 – Code de génération du bruit pour différents niveaux de sigma.

Quatre algorithmes d'optimisation stochastique ont été implémentés : Descente de gradient stochastique (SGD), Mini-batch Gradient Descent, Adam, RMSprop. Chaque méthode est appliquée aux jeux de données générés pour analyser leur convergence et leur robustesse au bruit.

## 5.2. Analyse de la sensibilité au bruit

---

```
▶ def sgd(x, y, learning_rate=0.01, max_iter=1000):
    m, n = x.shape
    theta = np.zeros(n)
    losses = []

    for _ in range(max_iter):
        gradient = -2 * (x.T.dot(y - x.dot(theta))) / m
        theta -= learning_rate * gradient
        loss = np.mean((y - x.dot(theta))**2)
        losses.append(loss)
    return losses
```

FIGURE 5.10 – Code de SGD.

```
▶ def mini_batch(x, y, batch_size=20, learning_rate=0.01, max_iter=1000):
    m, n = x.shape
    theta = np.zeros(n)
    losses = []

    for _ in range(max_iter):
        indices = np.random.choice(m, batch_size, replace=False)
        x_batch = x[indices]
        y_batch = y[indices]

        gradient = -2 * (x_batch.T.dot(y_batch - x_batch.dot(theta))) / batch_size
        theta -= learning_rate * gradient
        loss = np.mean((y_batch - x_batch.dot(theta))**2)
        losses.append(loss)
    return losses
```

FIGURE 5.11 – Code de mini-batch.

## 5.2. Analyse de la sensibilité au bruit

---

```
def adam(x, y, learning_rate=0.01, beta1=0.9, beta2=0.999, epsilon=1e-8, max_iter=1000):
    m, n = x.shape
    theta = np.zeros(n)
    m_t = np.zeros(n)
    v_t = np.zeros(n)
    losses = []

    for t in range(1, max_iter + 1):
        gradient = -2 * (x.T.dot(y - x.dot(theta))) / m
        m_t = beta1 * m_t + (1 - beta1) * gradient
        v_t = beta2 * v_t + (1 - beta2) * (gradient**2)

        m_hat = m_t / (1 - beta1**t)
        v_hat = v_t / (1 - beta2**t)

        theta -= learning_rate * m_hat / (np.sqrt(v_hat) + epsilon)
        loss = np.mean((y - x.dot(theta))**2)
        losses.append(loss)

    return losses
```

FIGURE 5.12 – Code de Adam.

```
def rmsprop(x, y, learning_rate=0.01, beta=0.9, epsilon=1e-8, max_iter=1000):
    m, n = x.shape
    theta = np.zeros(n)
    v = np.zeros(n)
    losses = []

    for _ in range(max_iter):
        gradient = -2 * (x.T.dot(y - x.dot(theta))) / m
        v = beta * v + (1 - beta) * (gradient**2)

        theta -= learning_rate * gradient / (np.sqrt(v) + epsilon)
        loss = np.mean((y - x.dot(theta))**2)
        losses.append(loss)

    return losses
```

FIGURE 5.13 – Code de rmsprop.

On utilise le code ci-dessous pour visualiser les graphes de convergence pour chaque algorithme pour différents niveaux du bruit :

## 5.2. Analyse de la sensibilité au bruit

```

▶ # Visualiser la convergence pour chaque niveau de bruit
fig, axes = plt.subplots(len(noise_levels), 4, figsize=(20, 15), sharey=True)

algorithms = ["SGD", "Mini-batch", "Adam", "RMSProp"]

for i, (x, y, sigma) in enumerate(datasets):
    for j, algo in enumerate(algorithms):
        if algo == "SGD":
            losses = sgd(x, y)
        elif algo == "Mini-batch":
            losses = mini_batch(x, y)
        elif algo == "Adam":
            losses = adam(x, y)
        elif algo == "RMSProp":
            losses = rmsprop(x, y)

        axes[i, j].plot(losses, label=f"{algo} (\sigma={sigma})")
        axes[i, j].set_title(f"{algo} - Bruit \sigma={sigma}")
        axes[i, j].set_xlabel("Itérations")
        axes[i, j].set_ylabel("MSE")
        axes[i, j].grid(True)
        axes[i, j].legend()

plt.tight_layout()
plt.show()

```

FIGURE 5.14 – Code de visualisation de quatre algorithmes pour différents valeurs de  $\sigma$ .

Les résultats ci-dessous montrent l'évolution de l'erreur quadratique moyenne (MSE) en fonction des itérations pour chaque méthode et pour chaque niveau de bruit.

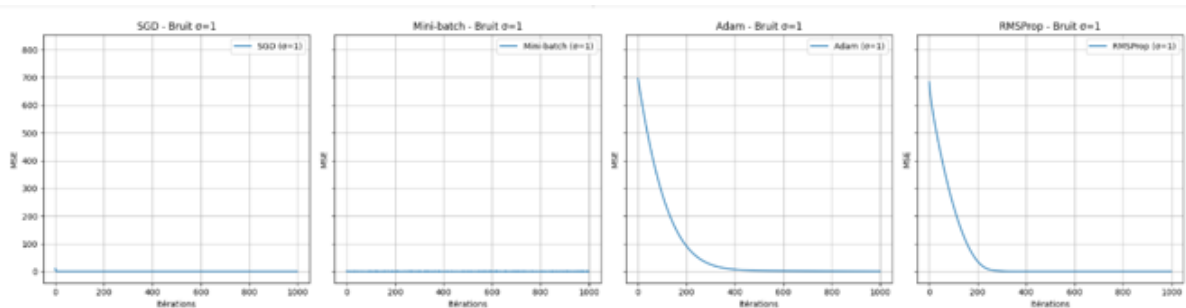


FIGURE 5.15 – Résultat des algorithmes pour  $\sigma=1$ .

## 5.2. Analyse de la sensibilité au bruit

---

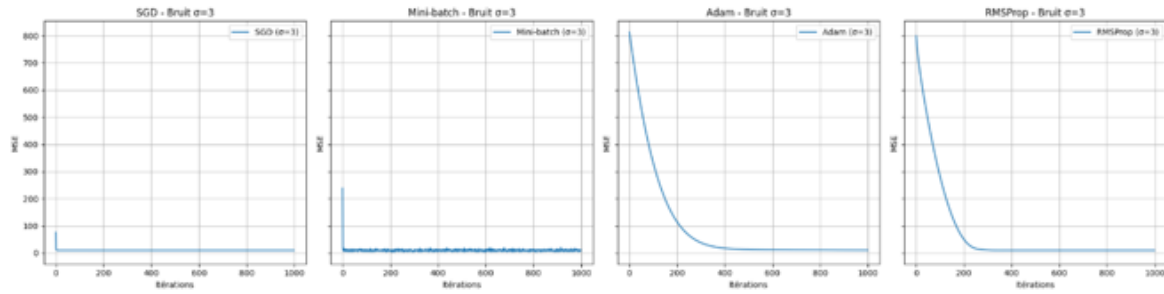


FIGURE 5.16 – Résultat des algorithmes pour  $\sigma=3$ .

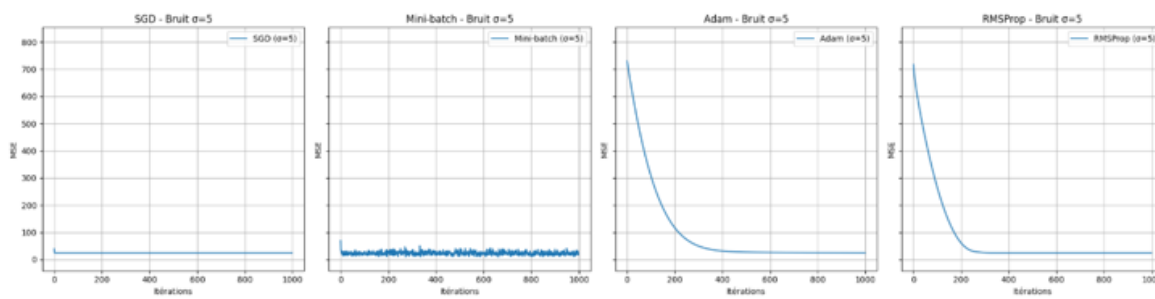


FIGURE 5.17 – Résultat des algorithmes pour  $\sigma=5$ .

Ces graphiques montrent l'évolution du MSE pour chaque méthode :

### Descente de Gradient Stochastique (SGD)

La descente de gradient stochastique (SGD) montre une bonne performance en présence d'un faible niveau de bruit ( $\sigma = 1$ ), avec une convergence rapide et une erreur stable. Cependant, lorsque le niveau de bruit augmente ( $\sigma = 3, 5$ ), des oscillations importantes apparaissent, rendant les estimations moins précises et instables. Ces oscillations traduisent une sensibilité accrue au bruit, ce qui limite l'efficacité de la méthode dans des environnements fortement bruités.

### Descente de Gradient en Mini-lots (Mini-batch Gradient Descent)

La méthode de descente de gradient en mini-lots offre une meilleure stabilité que la SGD face à des niveaux de bruit modérés ( $\sigma = 3$ ). Cependant, pour des niveaux de bruit plus élevés ( $\sigma = 5$ ), on observe un ralentissement de la convergence ainsi que des oscillations plus marquées. Bien qu'elle soit plus robuste que la SGD dans certains cas, elle reste limitée dans des contextes où les données sont fortement bruitées.

### Adam

Adam est la méthode qui se distingue par sa robustesse face au bruit. Même avec des niveaux de bruit élevés ( $\sigma = 5$ ), Adam conserve une rapidité de convergence et une faible erreur, ce qui en fait une méthode très performante dans des scénarios complexes. Grâce à son mécanisme d'ajustement dynamique des taux d'apprentissage, Adam parvient à éviter les oscillations significatives et à maintenir des performances constantes.

### RMSprop

RMSprop affiche des performances satisfaisantes pour des niveaux de bruit faibles à modérés ( $\sigma = 1, 3$ ), avec une convergence stable et une erreur modérée. Cependant, lorsque le bruit devient important ( $\sigma = 5$ ), la méthode montre des oscillations plus

## **5.2. Analyse de la sensibilité au bruit**

---

prononcées, ce qui réduit sa performance globale. RMSprop reste donc une option viable, mais légèrement inférieure à Adam dans des environnements très bruités.

- **Les graphiques d'évolution de l'erreur quadratique moyenne (MSE) en fonction des itérations confirment ces observations.** Adam ressort comme la méthode la plus robuste et la moins sensible au bruit, tandis que SGD et Mini-batch Gradient Descent deviennent instables avec un bruit important. RMSprop, pour sa part, se situe entre ces extrêmes, offrant une performance raisonnable mais moins optimale que celle d'Adam dans les cas les plus difficiles.

# 6 | Extension du problème

## 6.1 Régression avec un terme de régularisation

Dans cette partie nous allons aborder la régression avec un terme de régularisation L2, L'ajout de ce terme de régularisation permet de contrôler la complexité du modèle et d'éviter le sur-apprentissage en pénalisant les grands coefficients.

L'objectif à minimiser devient ainsi la somme de l'erreur quadratique moyenne (MSE) et d'un terme de régularisation, défini par  $\lambda\|\beta\|_2^2$ , où  $\lambda$  est le paramètre de régularisation, et  $\|\beta\|_2^2 = \sum_{j=1}^p \beta_j^2$  est la norme L2 du vecteur des coefficients. Cette approche permet d'améliorer la généralisation du modèle en évitant l'overfitting.

```
✓ 2s  import numpy as np
     import matplotlib.pyplot as plt

     # Génération des données
     np.random.seed(42)
     n_samples = 100
     n_features = 2
     sigma = 2 # Écart-type du bruit

     # Générer des données aléatoires
     x = np.random.rand(n_samples, n_features) * 10 # x dans [0, 10]
     beta_real = np.array([2, 3]) # Coefficients réels
     bias_real = -1 # Biais réel
     noise = np.random.normal(0, sigma, size=n_samples)
     y = x.dot(beta_real) + bias_real + noise # y = x*beta + biais + bruit

     # Fonction de coût avec régularisation Ridge
     def compute_loss_ridge(x, y, theta, bias, lambda_):
         y_pred = x.dot(theta) + bias
         mse = np.mean((y_pred - y) ** 2)
         ridge_penalty = lambda_ * np.sum(theta ** 2)
         return mse + ridge_penalty
```

FIGURE 6.1 – génération des données avec bruit normal

## 6.1. Régression avec un terme de régularisation

```
❶ # Gradient Descent pour Ridge Regression
def ridge_regression(x, y, learning_rate=0.01, batch_size=20, n_iterations=1000, lambda_=0.1):
    n_samples, n_features = x.shape
    theta = np.zeros(n_features)
    bias = 0
    losses = []
    for iteration in range(n_iterations):
        # Mélanger les données
        indices = np.random.permutation(n_samples)
        x_shuffled = x[indices]
        y_shuffled = y[indices]

        for start in range(0, n_samples, batch_size):
            end = min(start + batch_size, n_samples)
            x_batch = x_shuffled[start:end]
            y_batch = y_shuffled[start:end]

            # Calcul des prédictions
            y_pred = x_batch.dot(theta) + bias

            # Calcul des gradients
            gradient_theta = -2 * x_batch.T.dot(y_batch - y_pred) / batch_size + 2 * lambda_ * theta
            gradient_bias = -2 * np.sum(y_batch - y_pred) / batch_size
```

FIGURE 6.2 – gradient descent pour rigide regression

```
❶ # Calcul des gradients
gradient_theta = -2 * x_batch.T.dot(y_batch - y_pred) / batch_size + 2 * lambda_ * theta
gradient_bias = -2 * np.sum(y_batch - y_pred) / batch_size
# Mise à jour des paramètres
theta -= learning_rate * gradient_theta
bias -= learning_rate * gradient_bias
# Calculer la perte pour toutes les données
loss = compute_loss_ridge(x, y, theta, bias, lambda_)
losses.append(loss)
if iteration % 100 == 0:
    print(f"Iteration {iteration}: Loss = {loss:.4f}")
return theta, bias, losses
# Paramètres de la régularisation Ridge
lambda_ = 0.1 # Paramètre de régularisation
learning_rate = 0.01
batch_size = 20
n_iterations = 1000

# Entraînement du modèle Ridge
theta_ridge, bias_ridge, losses_ridge = ridge_regression(x, y, learning_rate, batch_size, n_iterations, lambda_)

# Résultats finaux
print("\nRésultats finaux (Ridge Regression):")
print(f"Paramètres estimés: theta = {theta_ridge}, bias = {bias_ridge}")
```

FIGURE 6.3 – paramètres de la régularisation rigide

## 6.1. Régression avec un terme de régularisation

```
# Résultats finaux
print("\nRésultats finaux (Ridge Regression):")
print(f"Paramètres estimés: theta = {theta_ridge}, bias = {bias_ridge}")

# Tracé de l'évolution de la perte
plt.figure(figsize=(10, 4))
plt.plot(range(n_iterations), losses_ridge, label="Ridge Loss", color="purple")
plt.xlabel("Itérations")
plt.ylabel("Erreur quadratique moyenne (MSE + régularisation)")
plt.title("Convergence de Ridge Regression")
plt.grid(True)
plt.legend()
plt.show()
```

FIGURE 6.4 – tracé de l'évolution de la perte

```
Iteration 0: Loss = 8.2835
Iteration 100: Loss = 5.6741
Iteration 200: Loss = 6.2421
Iteration 300: Loss = 5.5239
Iteration 400: Loss = 5.3160
Iteration 500: Loss = 6.4040
Iteration 600: Loss = 5.6252
Iteration 700: Loss = 5.7858
Iteration 800: Loss = 5.5437
Iteration 900: Loss = 5.2796

Résultats finaux (Ridge Regression):
Paramètres estimés: theta = [1.99751327 3.01422398], bias = -1.1614199615529277
```

FIGURE 6.5 – le MSE pour chaque itération

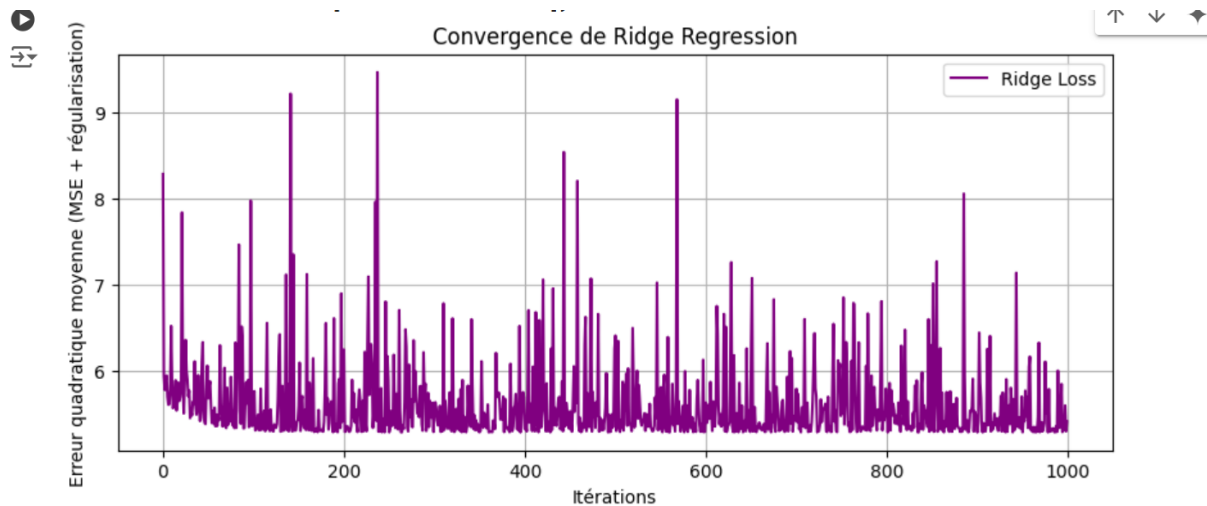


FIGURE 6.6 – l'évolution de la fonction de perte (Loss) au fil des itérations

Le graphique présente les résultats de la régression avec terme de régularisation L2 (Ridge Regression), où l'objectif est de réduire le sur-apprentissage en pénalisant les grandes valeurs des coefficients. La perte diminue régulièrement, atteignant une valeur proche de 5.2796 à l'itération 900, ce qui indique que l'algorithme converge efficacement.

## 6.1. Régression avec un terme de régularisation

---

Les valeurs finales des paramètres estimés ( $\theta$  et biais) sont proches des valeurs réelles, ce qui montre une bonne estimation du modèle.

La courbe de convergence montre la réduction de l'erreur quadratique moyenne (MSE) avec régularisation. Bien que la perte fluctue légèrement au début, elle tend à se stabiliser après quelques centaines d'itérations, ce qui confirme que l'algorithme a réussi à optimiser la fonction de perte tout en contrôlant le sur-apprentissage grâce à la régularisation L2.

# 7 | conclusion

Ce projet sur l'**optimisation stochastique** nous a permis d'explorer différentes méthodes de descente de gradient appliquées à un problème de régression linéaire avec des données bruitées. En utilisant des algorithmes comme la **descente de gradient stochastique (SGD)**, le **mini-batch gradient descent**, et des variantes avancées comme **Adam** et **RMSprop**, nous avons pu observer leur efficacité dans la réduction de la perte (MSE) et leur capacité à estimer les paramètres du modèle de manière précise.

L'analyse des résultats a montré que Adam et Mini-batch convergent plus rapidement et de manière plus stable que SGD, en particulier pour des taux d'apprentissage plus faibles. Ces algorithmes ont également mieux géré le bruit dans les données, produisant des prédictions plus proches des valeurs réelles des paramètres. Toutefois, l'utilisation d'un learning rate plus faible a montré que les prédictions deviennent plus précises à long terme, bien que la convergence soit plus lente.

L'ajout d'un terme de régularisation L2 (Ridge Regression) a permis d'améliorer la généralisation et de réduire les risques de sur-apprentissage, en pénalisant les grands coefficients, ce qui a contribué à la stabilité du modèle face au bruit dans les données.

En conclusion, ce projet nous a non seulement permis de mieux comprendre les mécanismes de l'optimisation stochastique mais aussi d'appréhender les compromis entre vitesse de convergence, stabilité et qualité des solutions obtenues selon les différents algorithmes utilisés. Ces techniques sont essentielles dans des applications réelles où les données sont souvent bruyantes et où une convergence rapide et stable est cruciale pour la performance des modèles.

## bibliographie :

- <https://www.geeksforgeeks.org/difference-between-batch-gradient-descent-and-stochastic-gradient-descent/>
- <https://towardsdatascience.com/batch-mini-batch-stochastic-gradient-descent-7a62ecba642a>
- <https://ichi.pro/fr/guide-rapide-descente-de-gradient-batch-vs-stochastic-vs-mini-batch-16928601580448>